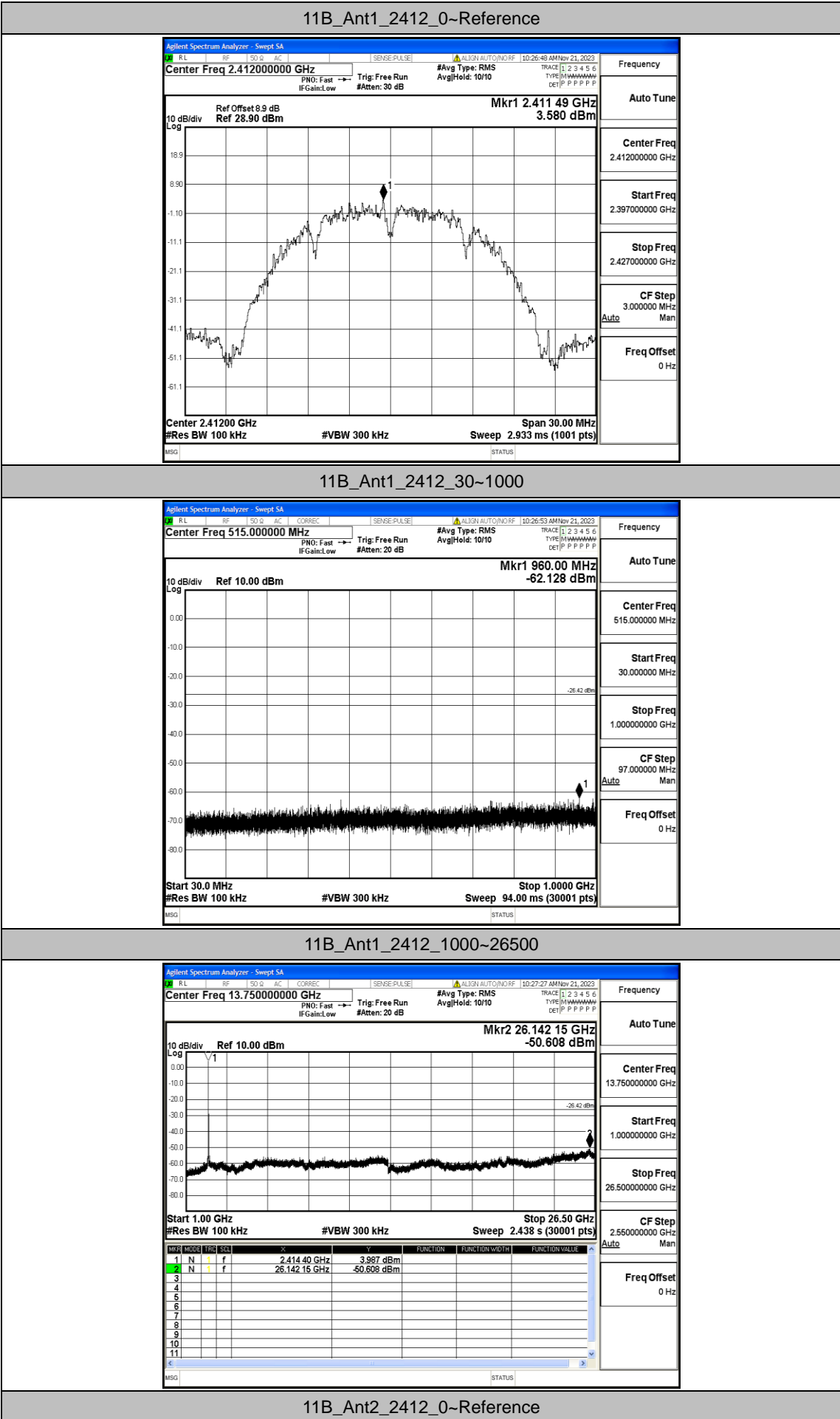
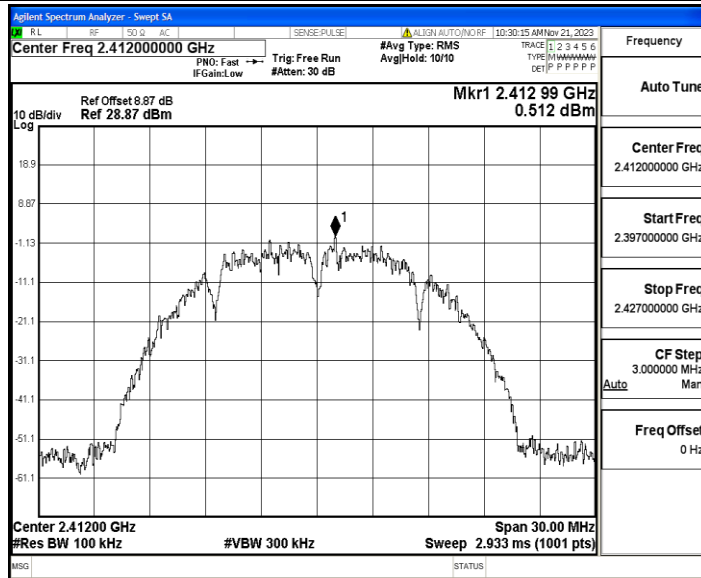
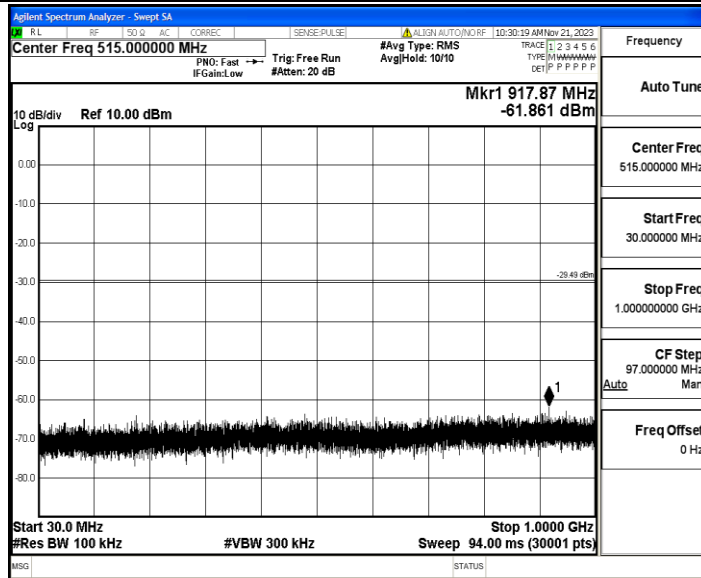


Test Graphs

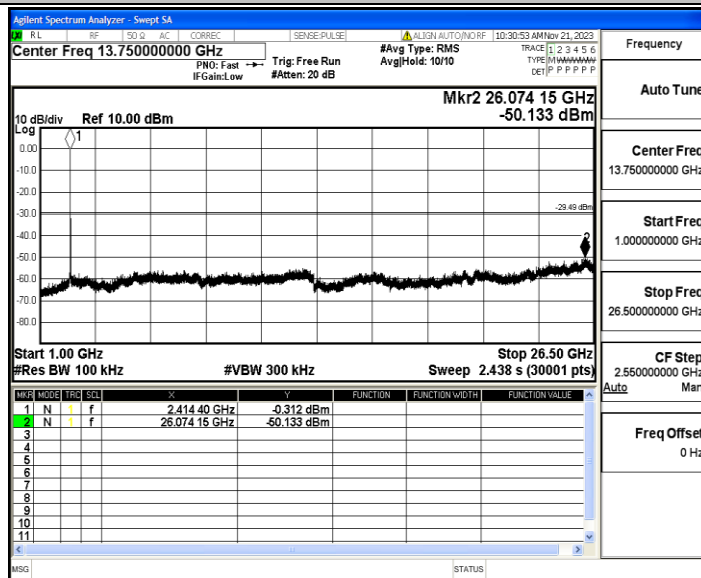




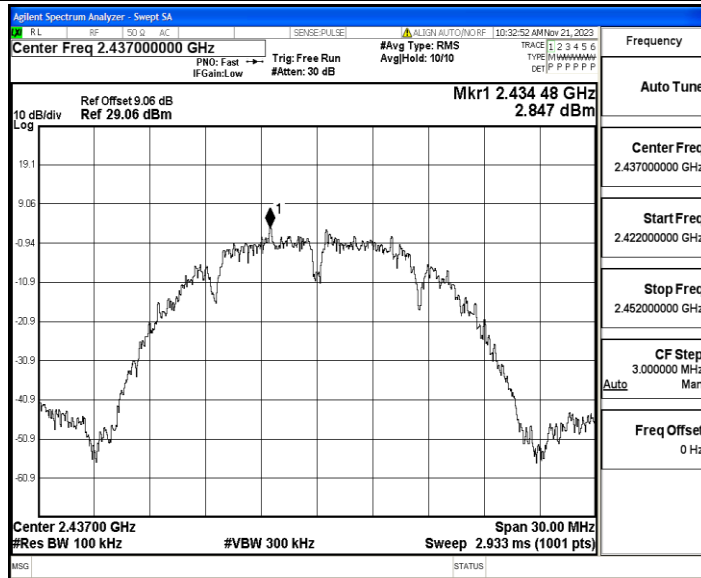
11B_Ant2_2412_30-1000



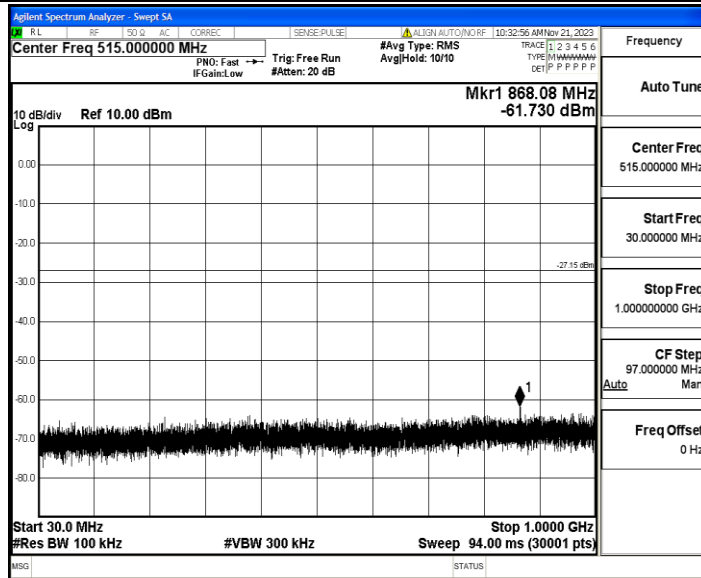
11B_Ant2_2412_1000-26500



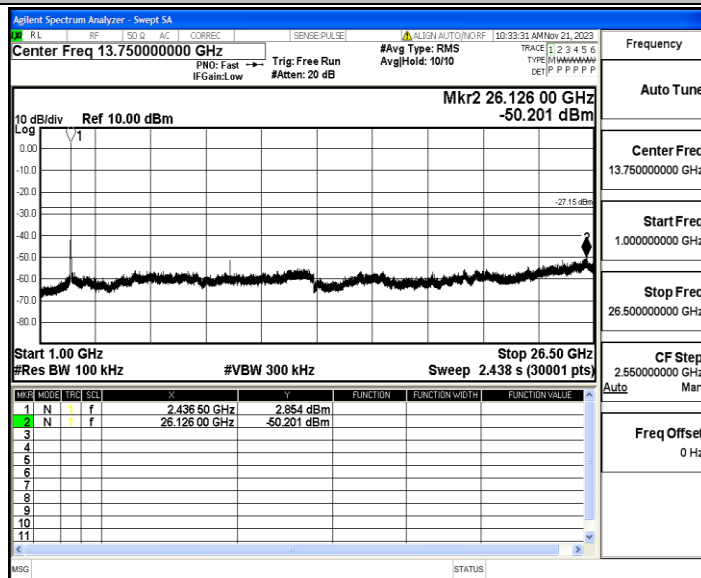
11B_Ant1_2437_0-Reference



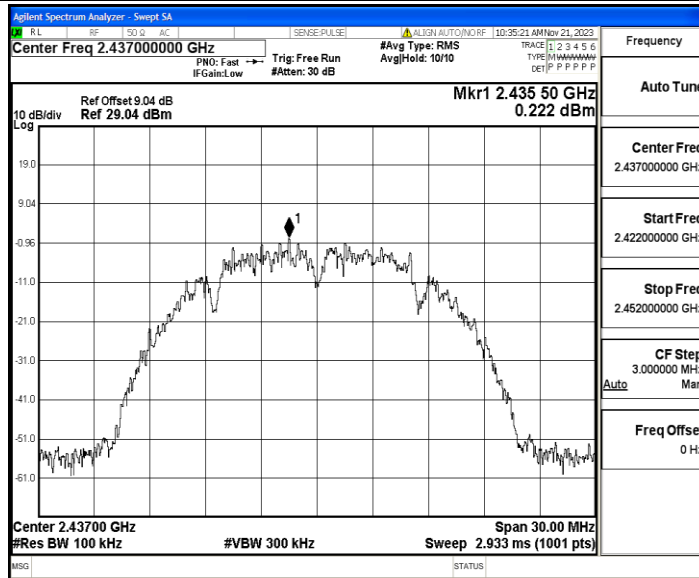
11B_Ant1_2437_30~1000



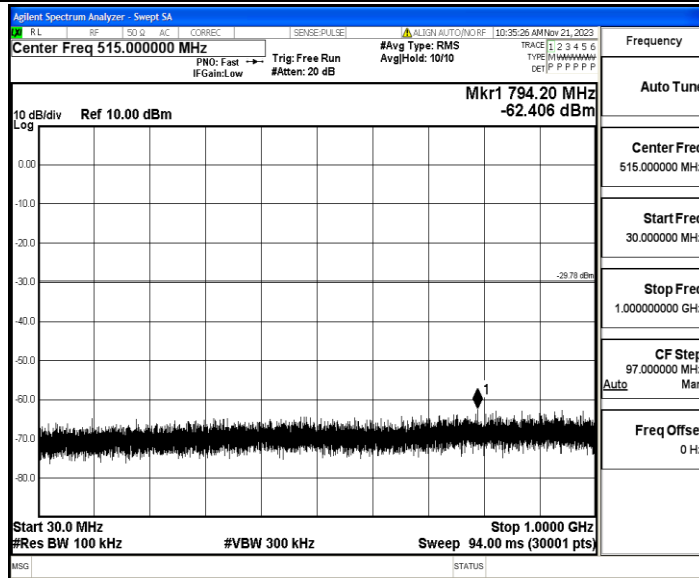
11B_Ant1_2437_1000~26500



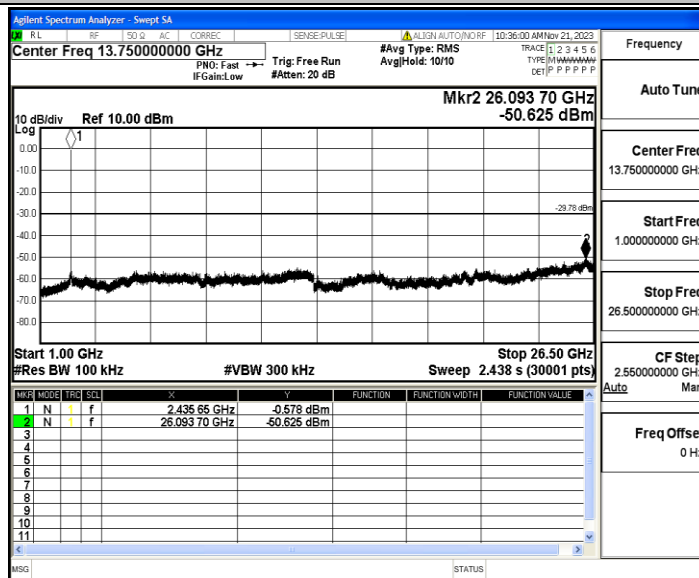
11B_Ant2_2437_0~Reference



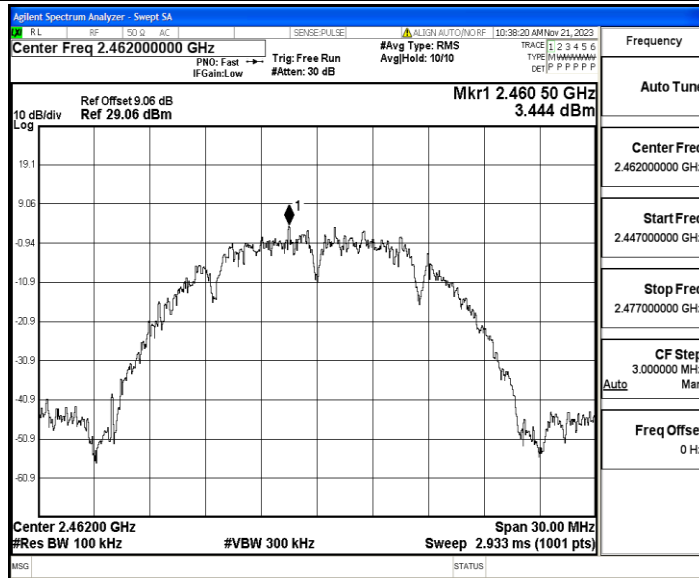
11B_Ant2_2437_30-1000



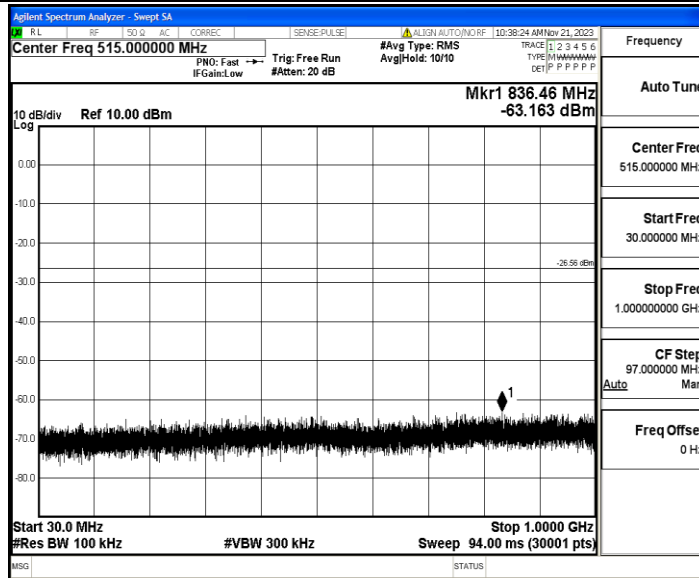
11B_Ant2_2437_1000-26500



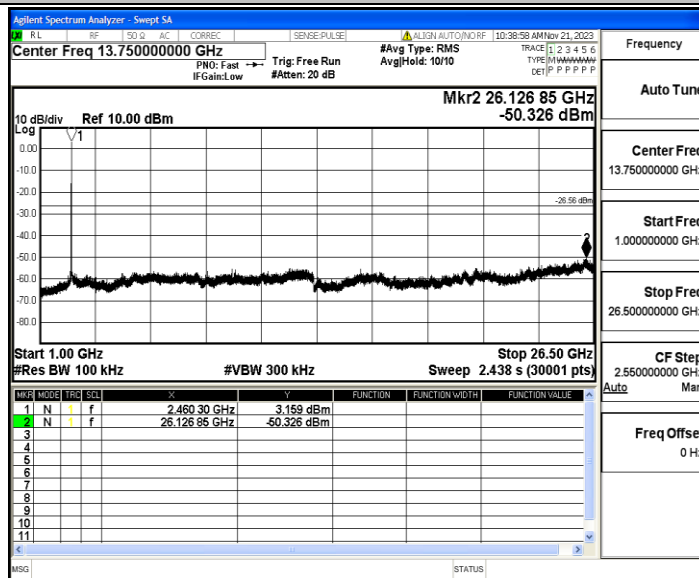
11B_Ant1_2462_0-Reference



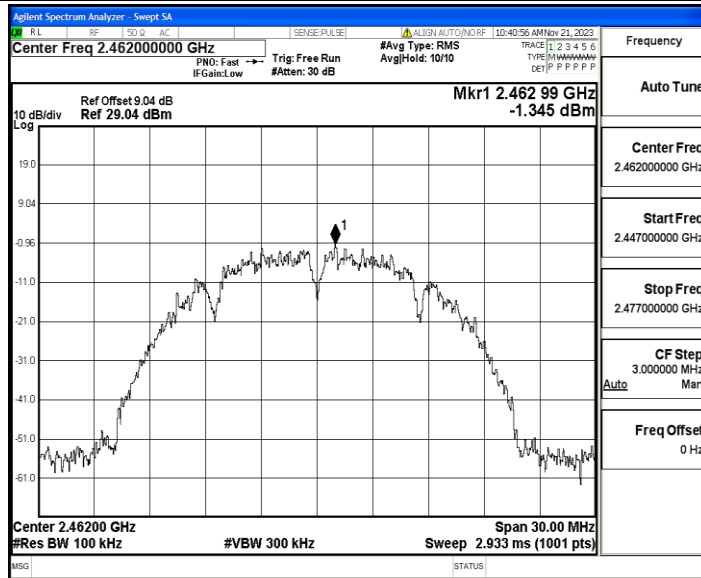
11B_Ant1_2462_30~1000



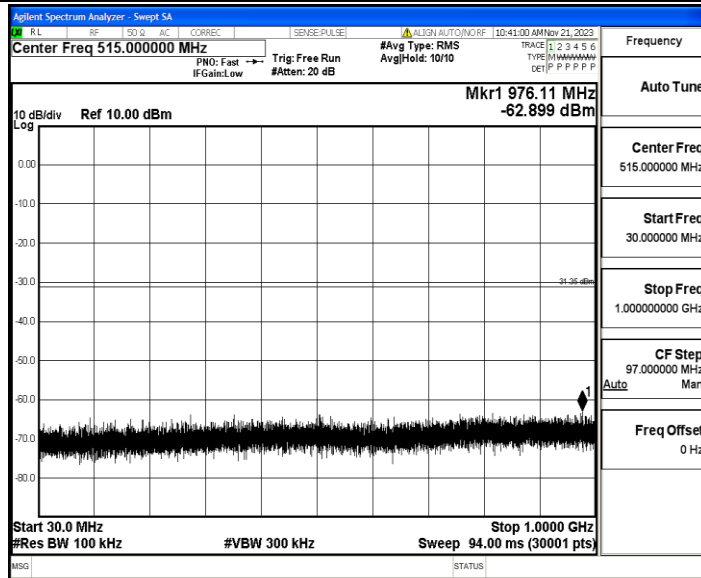
11B_Ant1_2462_1000~26500



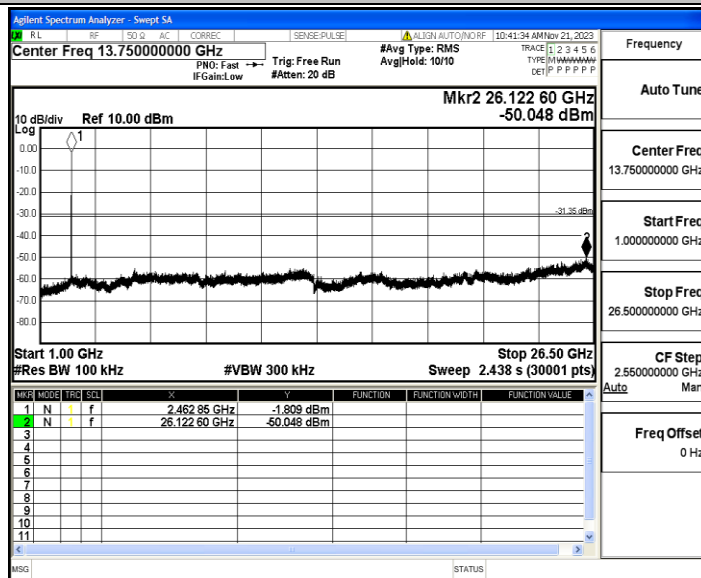
11B_Ant2_2462_0~Reference



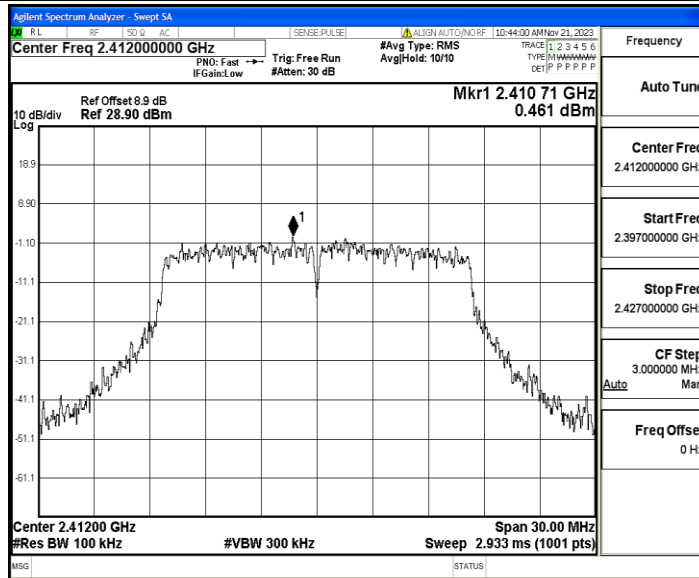
11B_Ant2_2462_30-1000



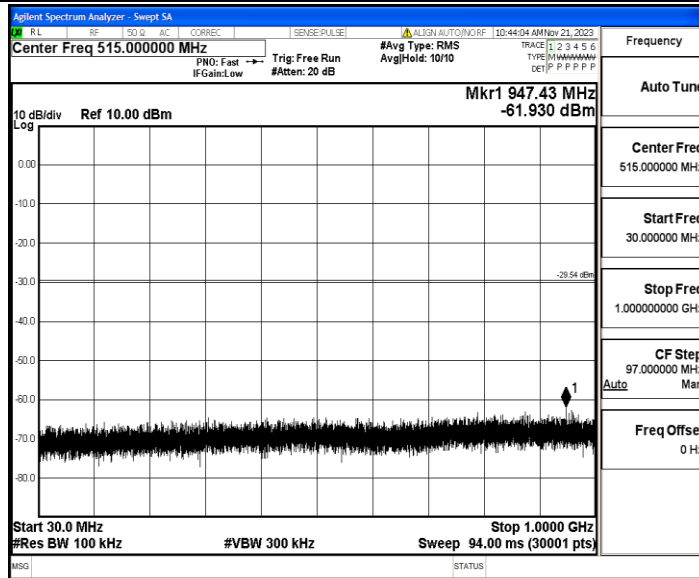
11B_Ant2_2462_1000-26500



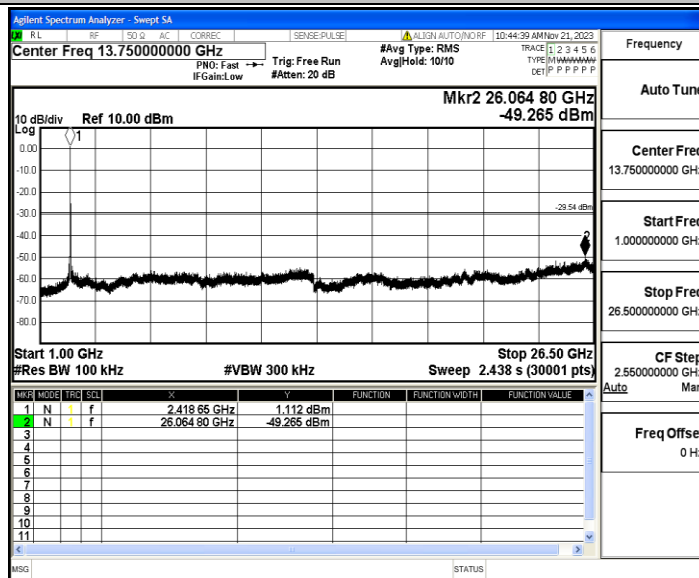
11G_Ant1_2412_0-Reference



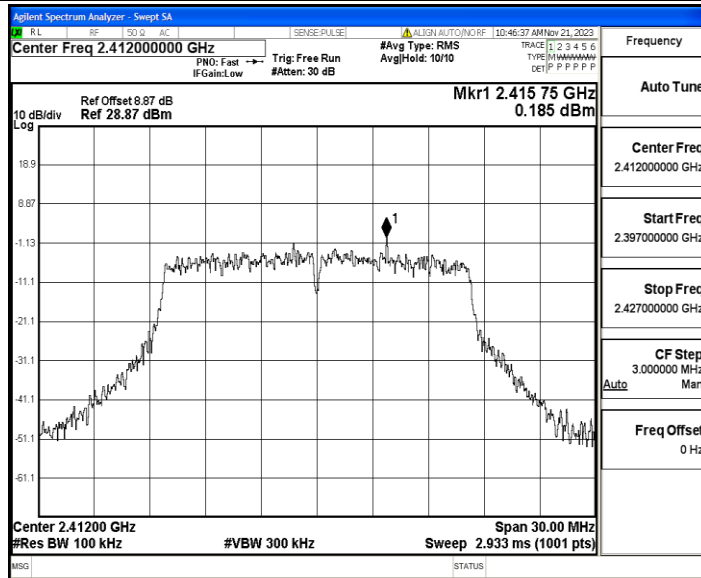
11G_Ant1_2412_30~1000



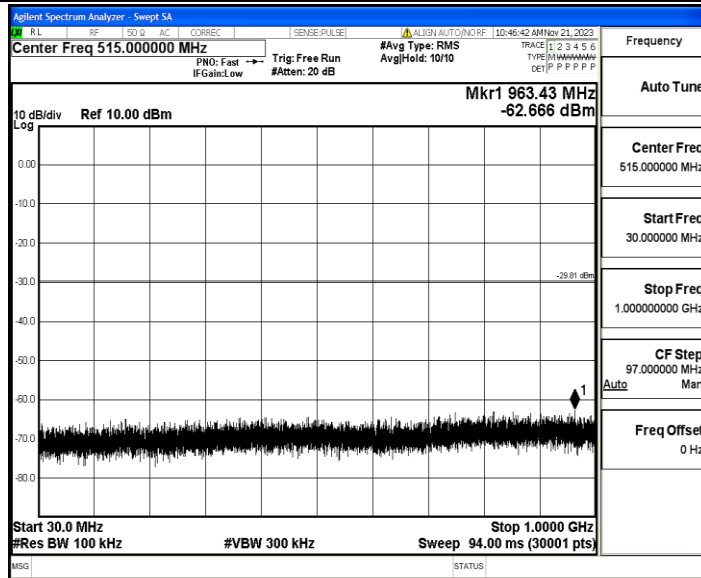
11G_Ant1_2412_1000~26500



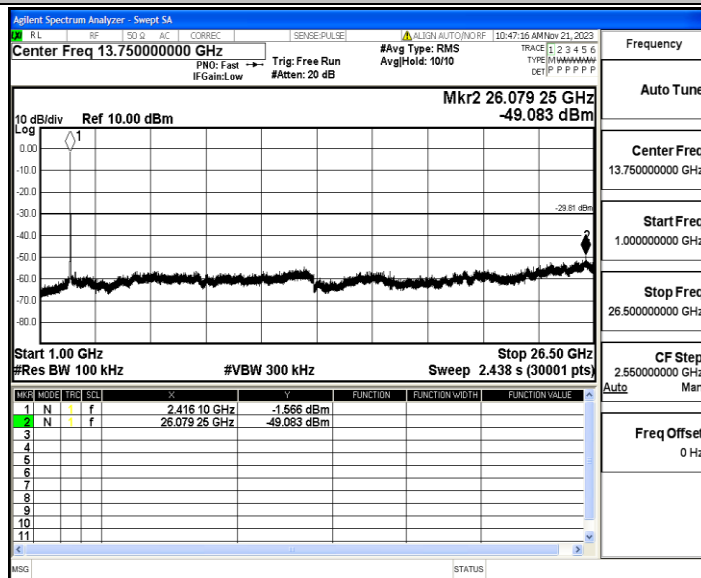
11G_Ant2_2412_0~Reference



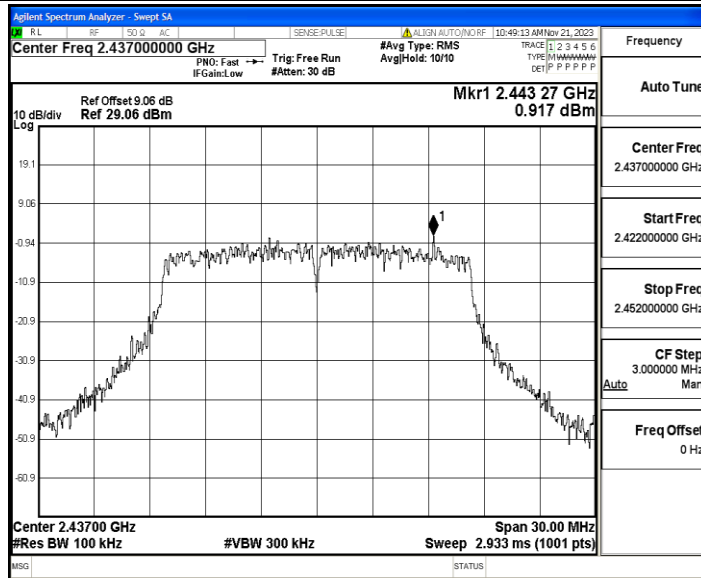
11G_Ant2_2412_30~1000



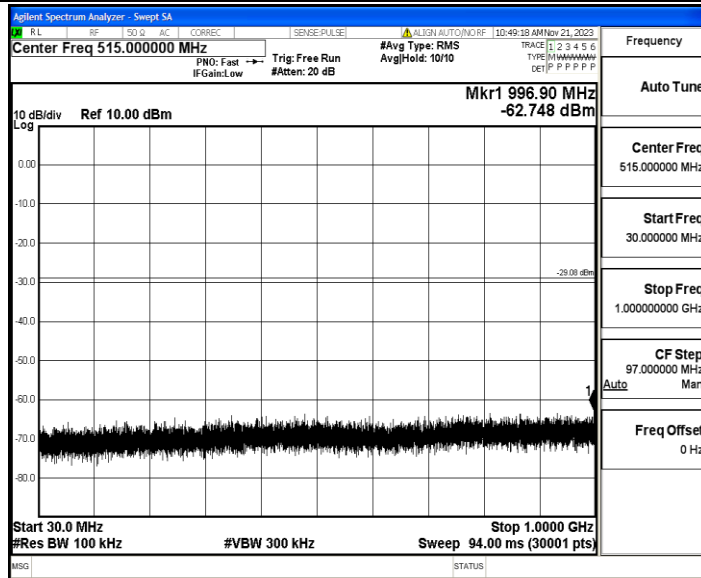
11G_Ant2_2412_1000~26500



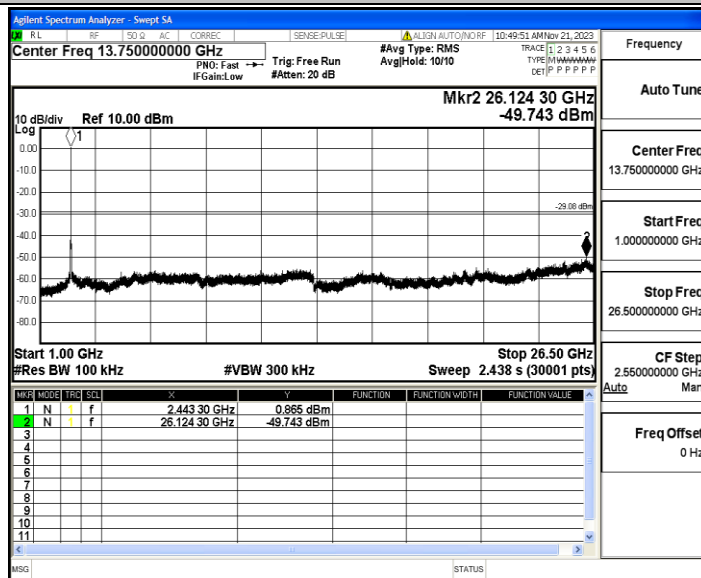
11G_Ant1_2437_0~Reference



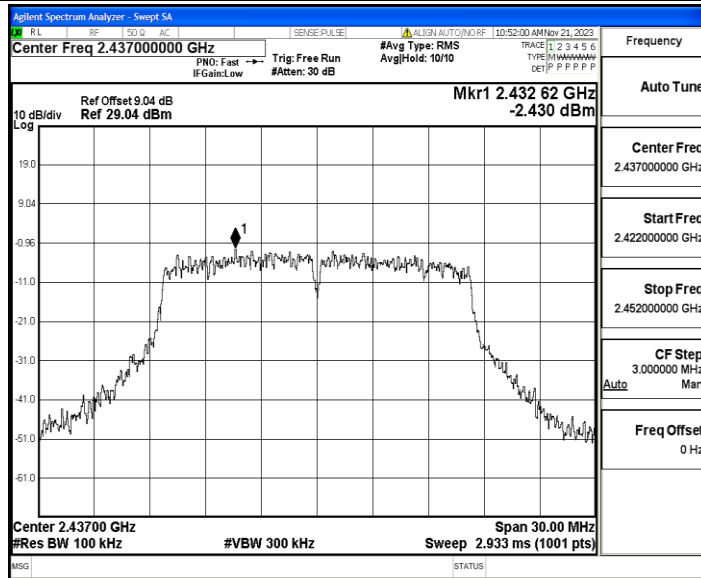
11G_Ant1_2437_30~1000



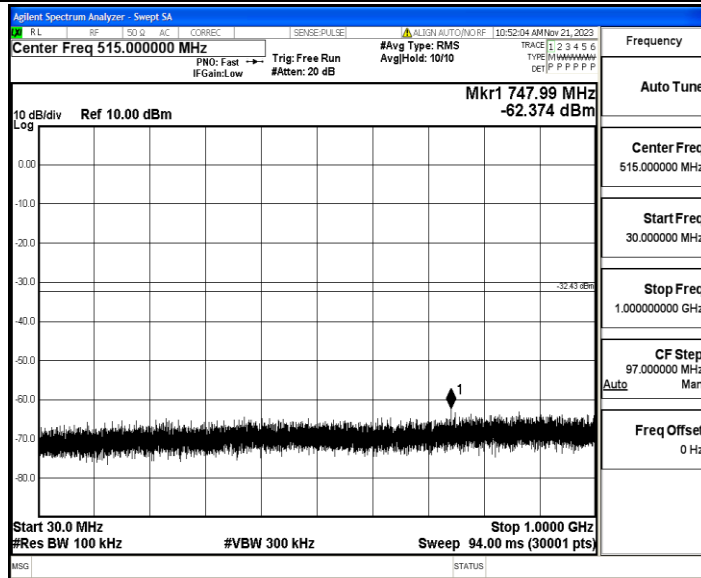
11G_Ant1_2437_1000~26500



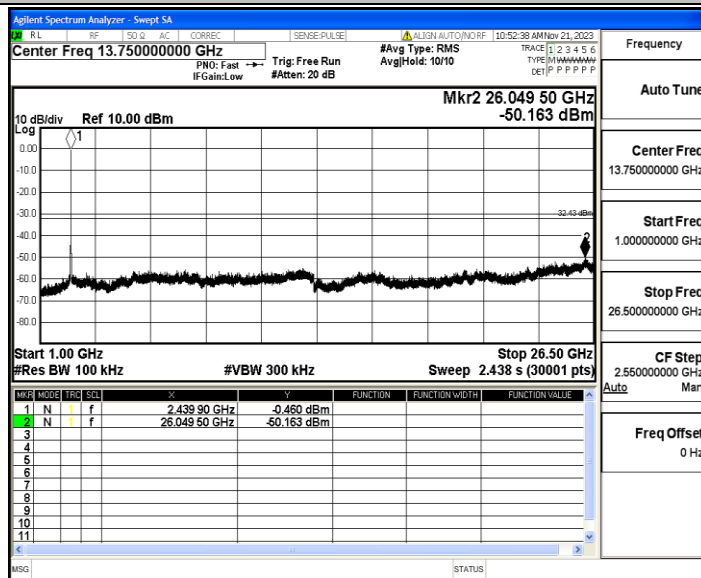
11G_Ant2_2437_0~Reference



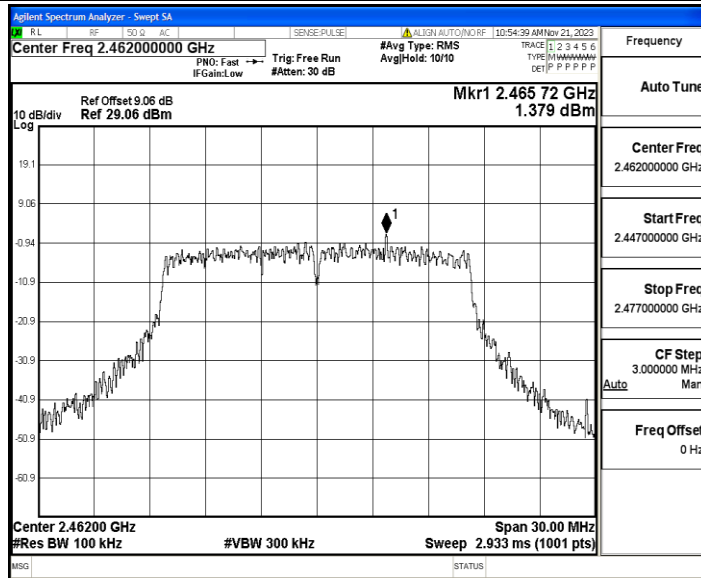
11G_Ant2_2437_30~1000



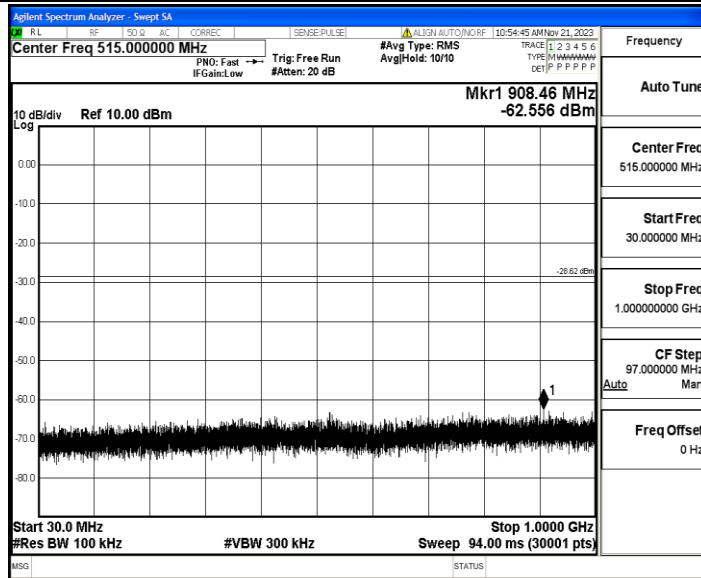
11G_Ant2_2437_1000~26500



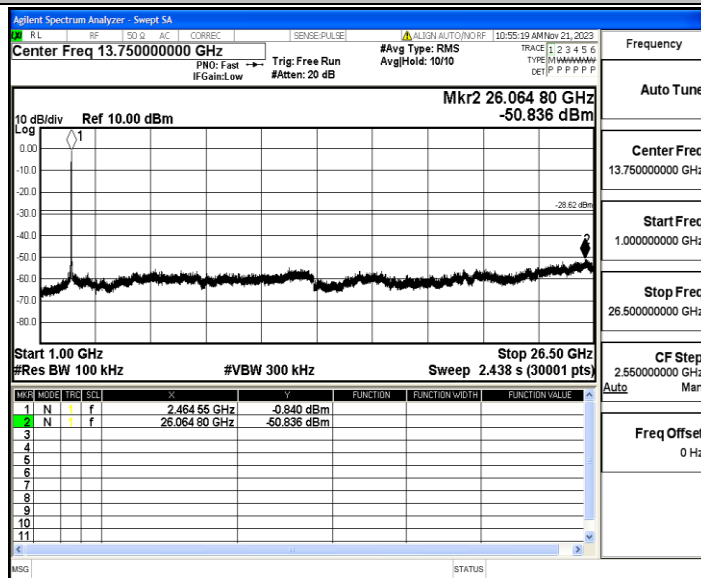
11G_Ant1_2462_0~Reference



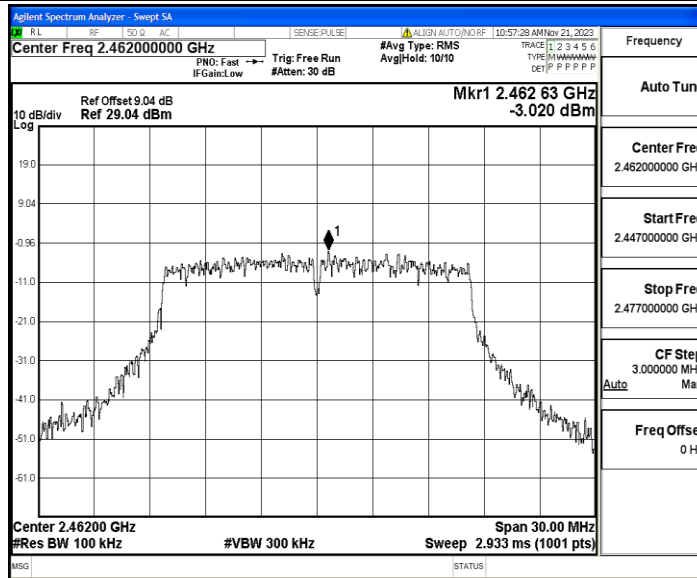
11G_Ant1_2462_30~1000



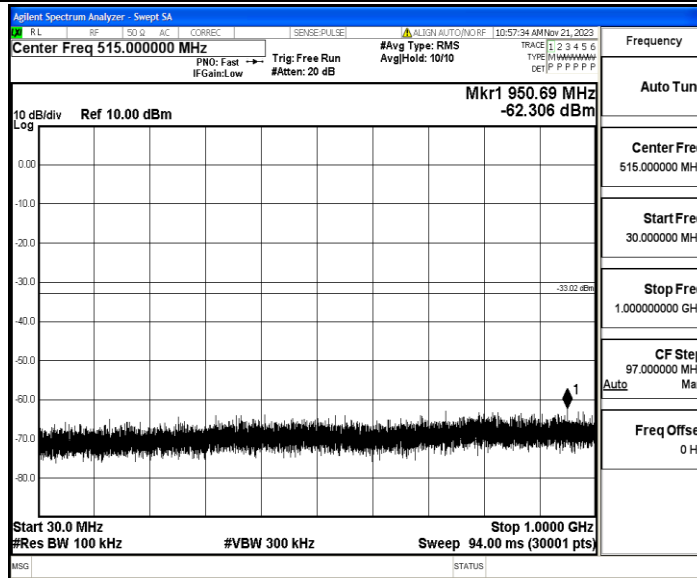
11G_Ant1_2462_1000~26500



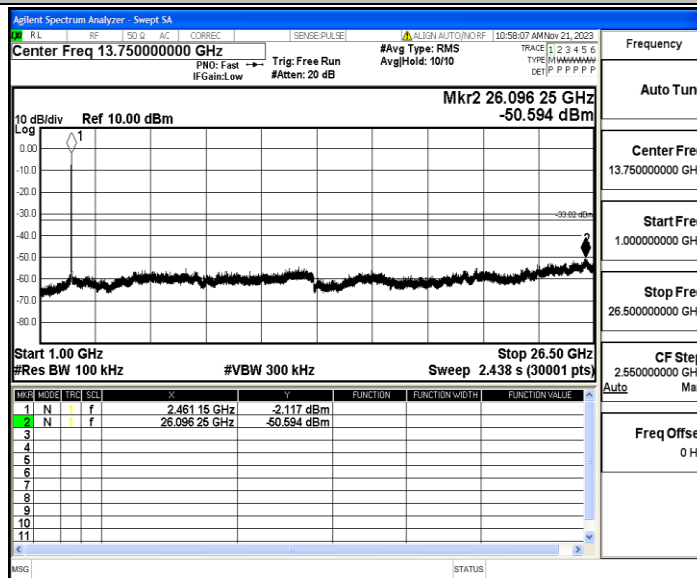
11G_Ant2_2462_0~Reference



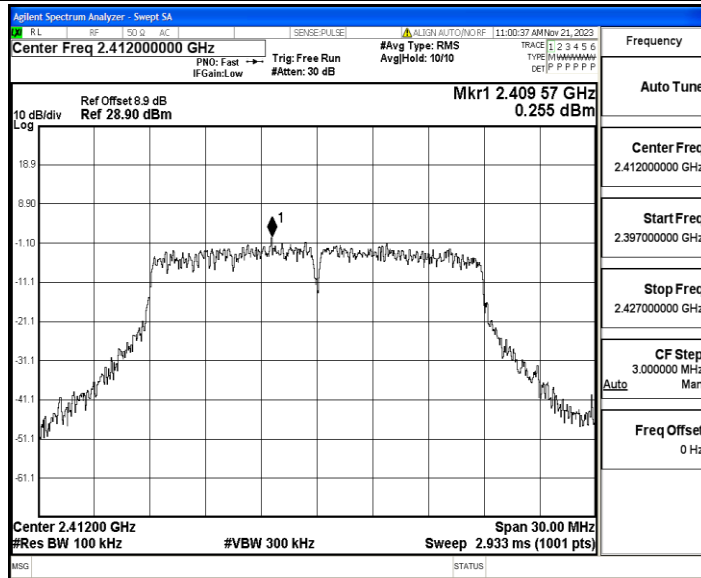
11G_Ant2_2462_30~1000



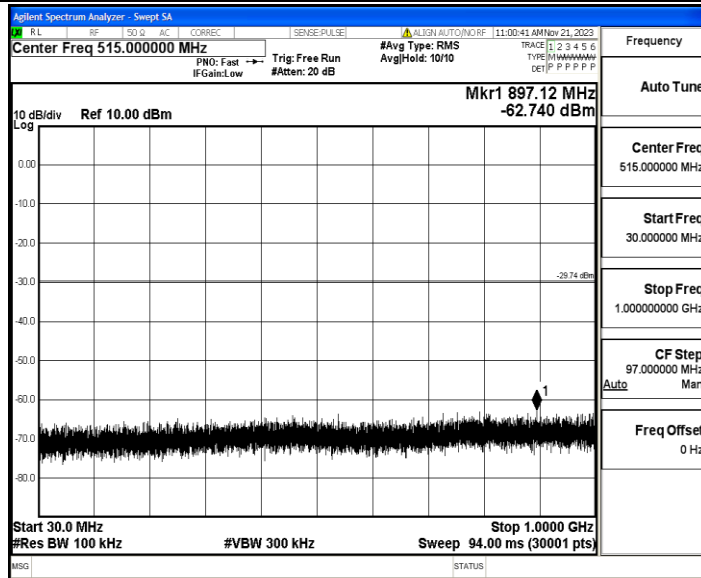
11G_Ant2_2462_1000~26500



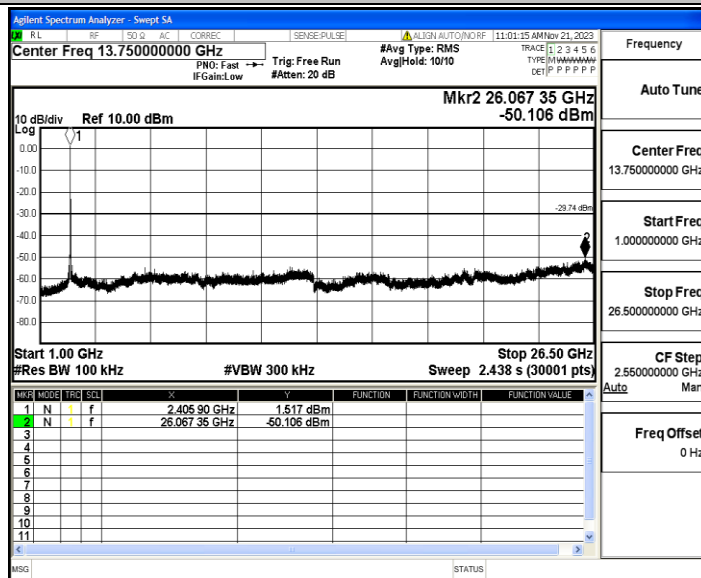
11N20MIMO_Ant1_2412_0~Reference



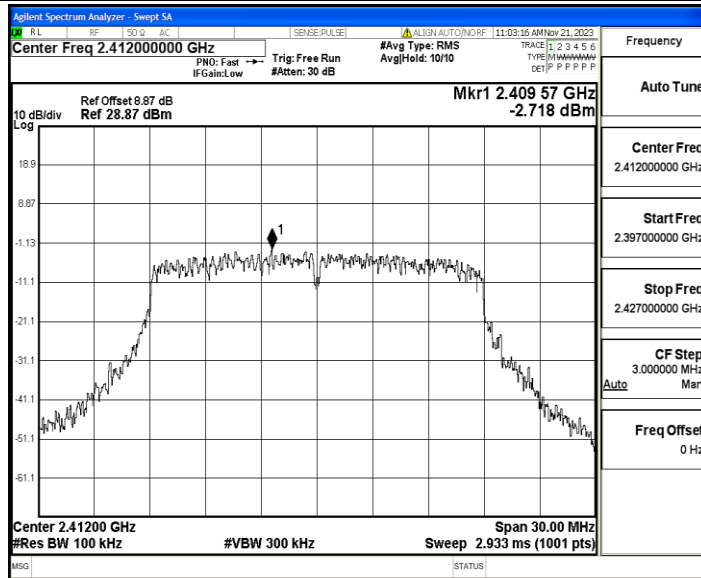
11N20MIMO_Ant1_2412_30~1000



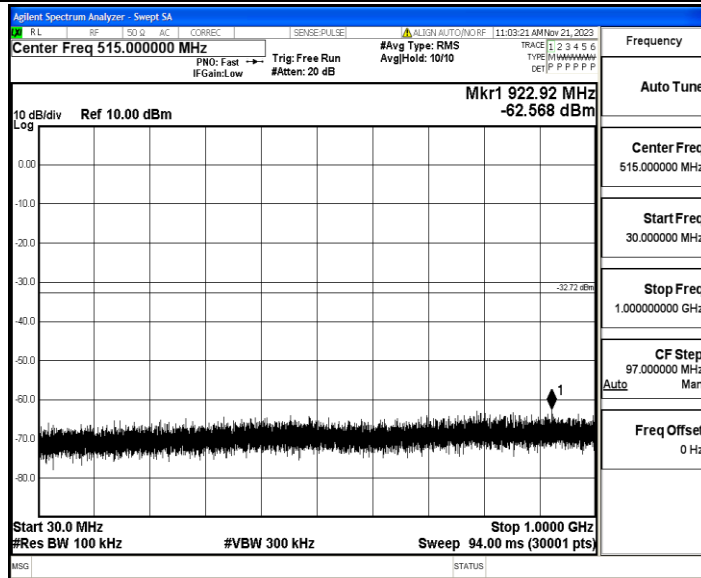
11N20MIMO_Ant1_2412_1000~26500



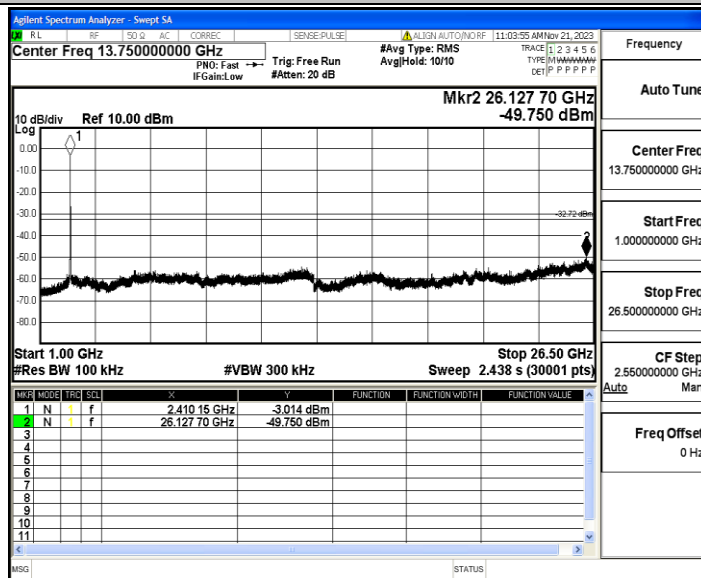
11N20MIMO_Ant2_2412_0~Reference



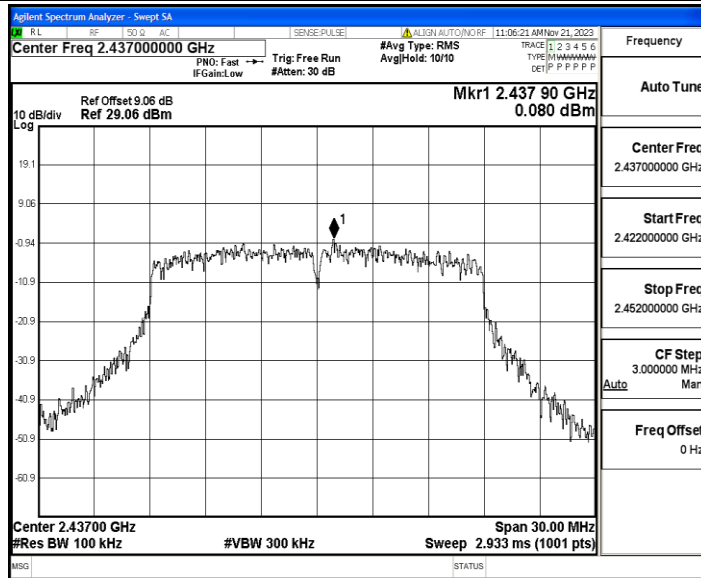
11N20MIMO_Ant2_2412_30~1000



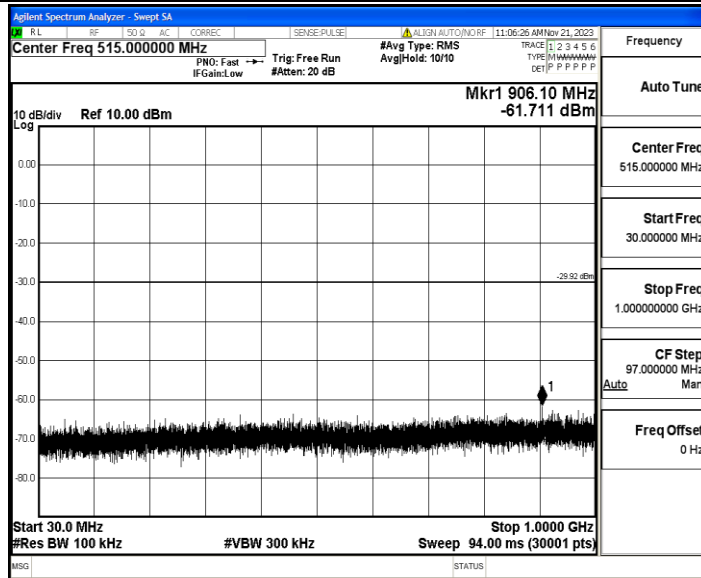
11N20MIMO_Ant2_2412_1000~26500



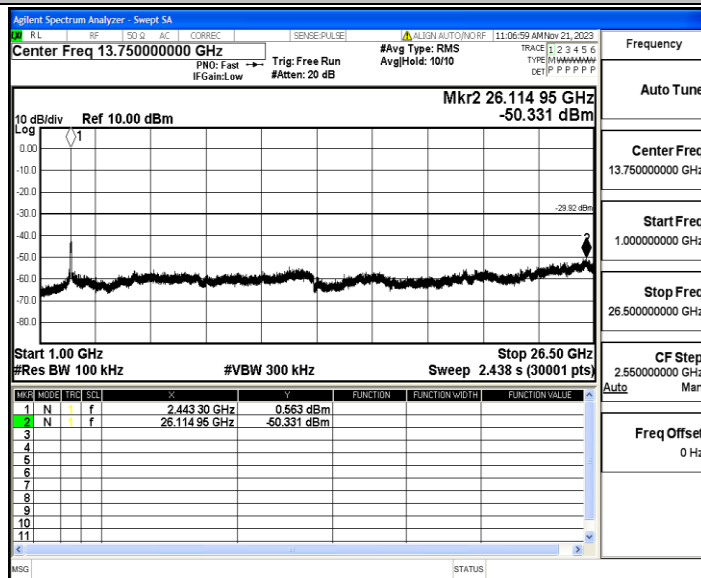
11N20MIMO_Ant1_2437_0~Reference



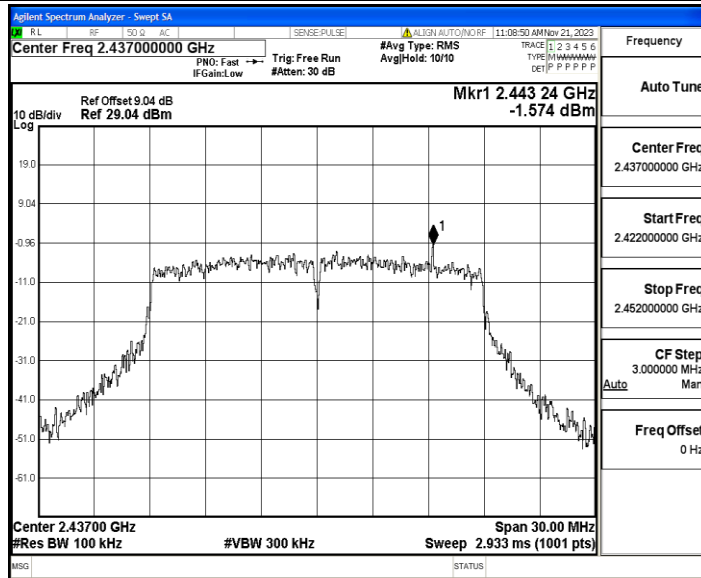
11N20MIMO_Ant1_2437_30~1000



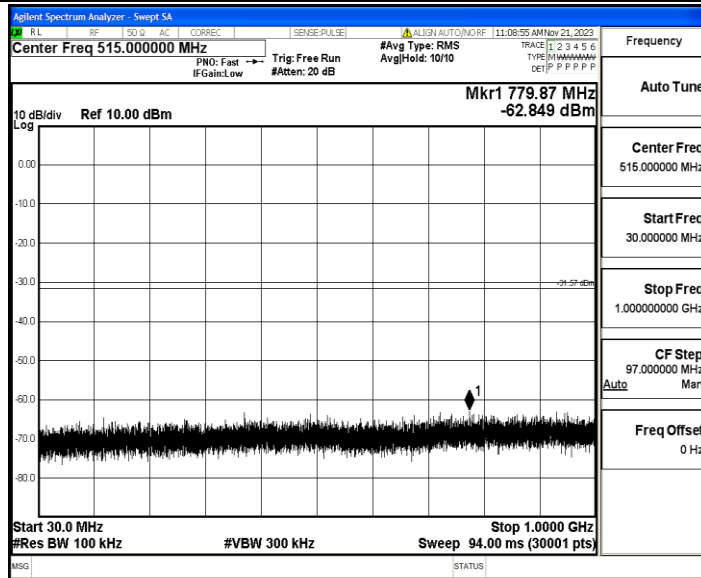
11N20MIMO_Ant1_2437_1000~26500



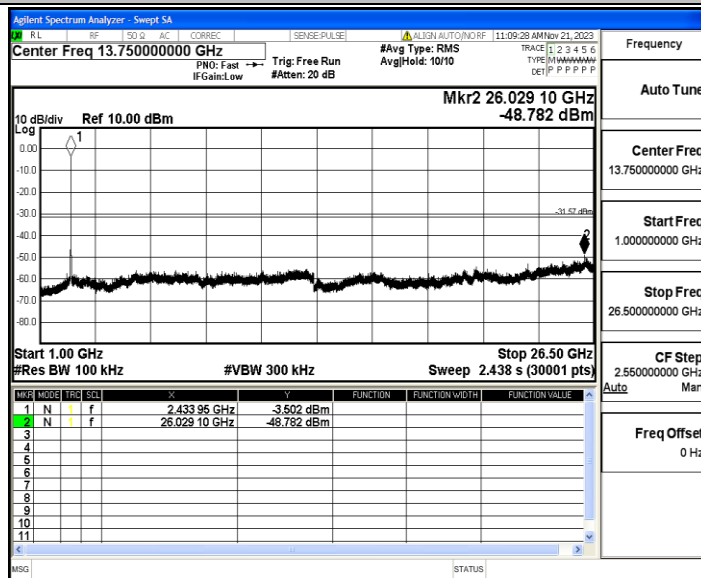
11N20MIMO_Ant2_2437_0~Reference



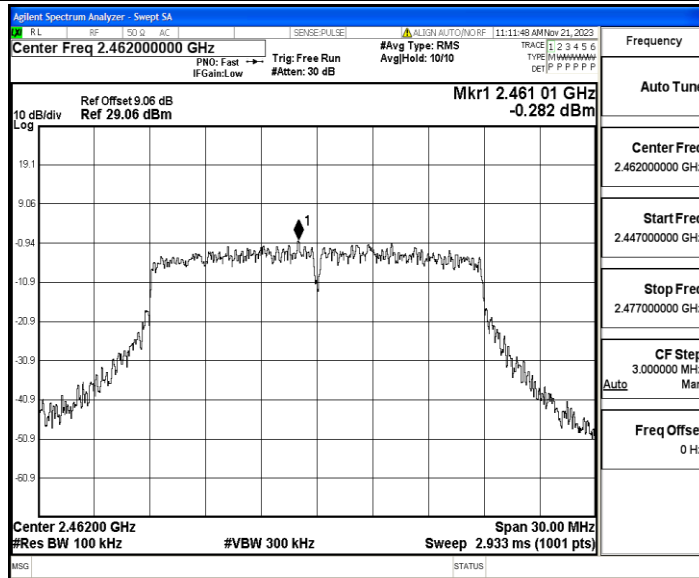
11N20MIMO_Ant2_2437_30~1000



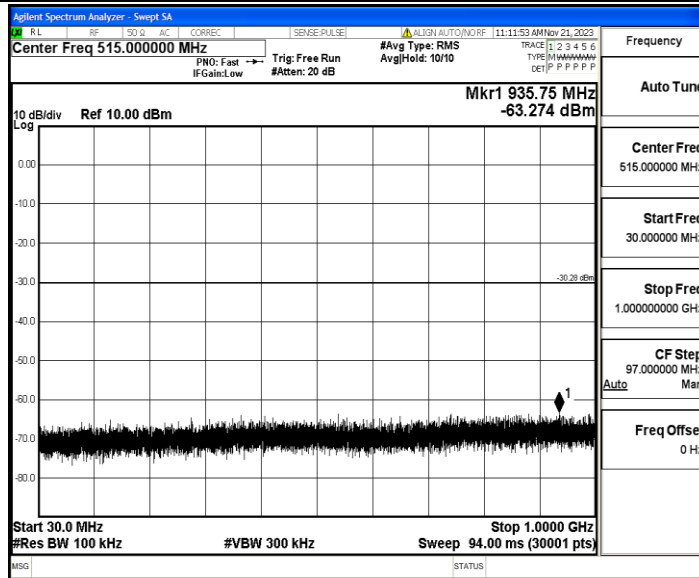
11N20MIMO_Ant2_2437_1000~26500



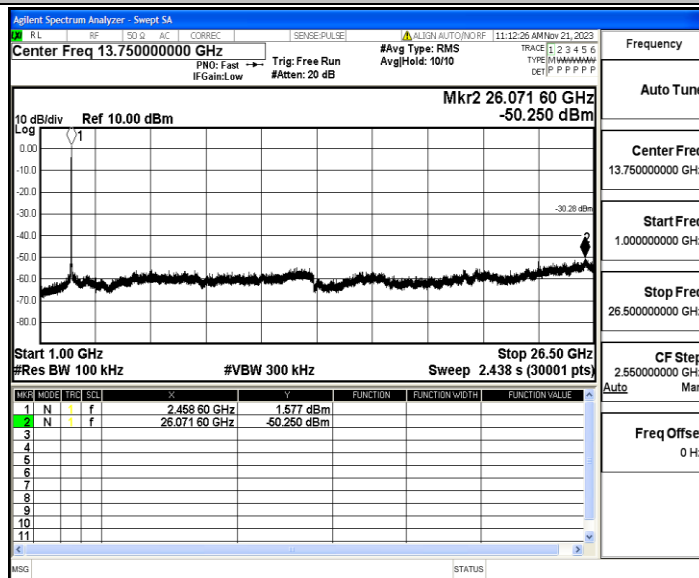
11N20MIMO_Ant1_2462_0~Reference



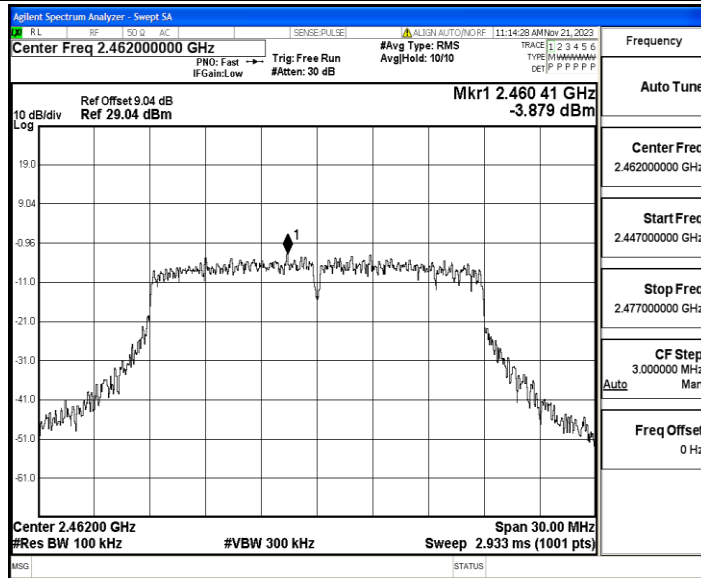
11N20MIMO_Ant1_2462_30~1000



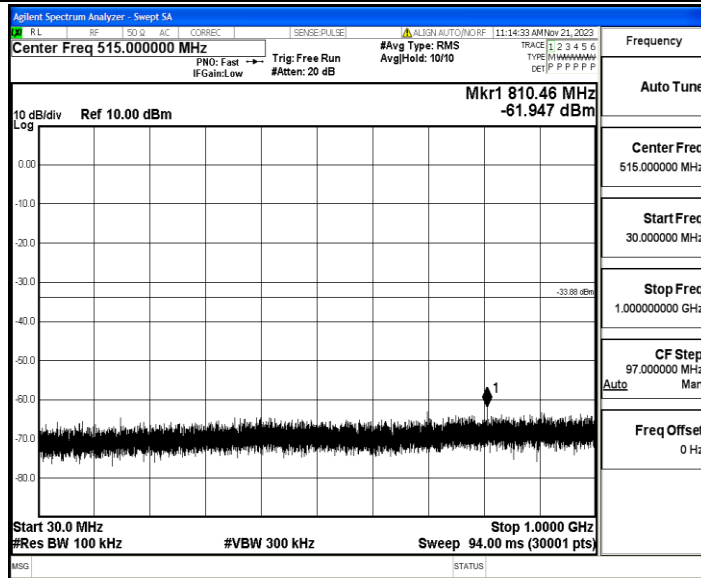
11N20MIMO_Ant1_2462_1000~26500



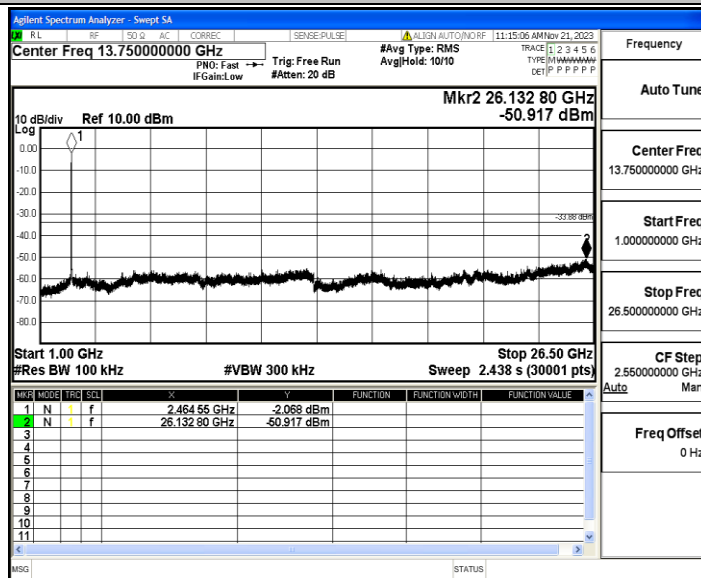
11N20MIMO_Ant2_2462_0~Reference



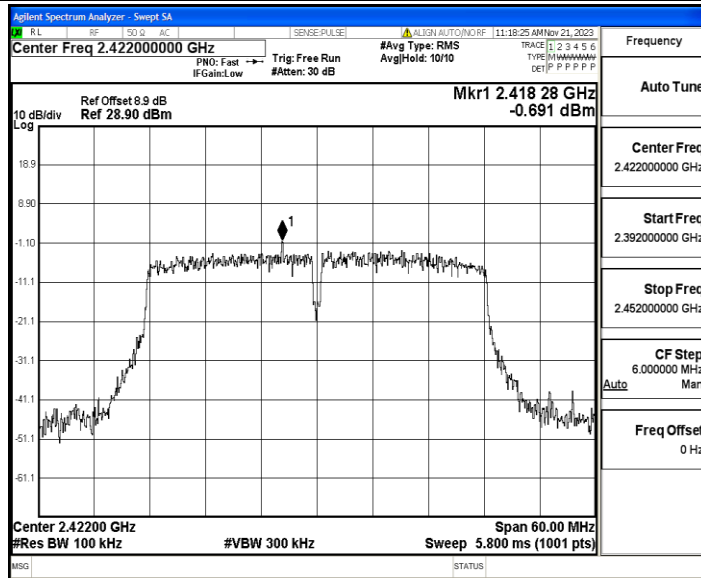
11N20MIMO_Ant2_2462_30-1000



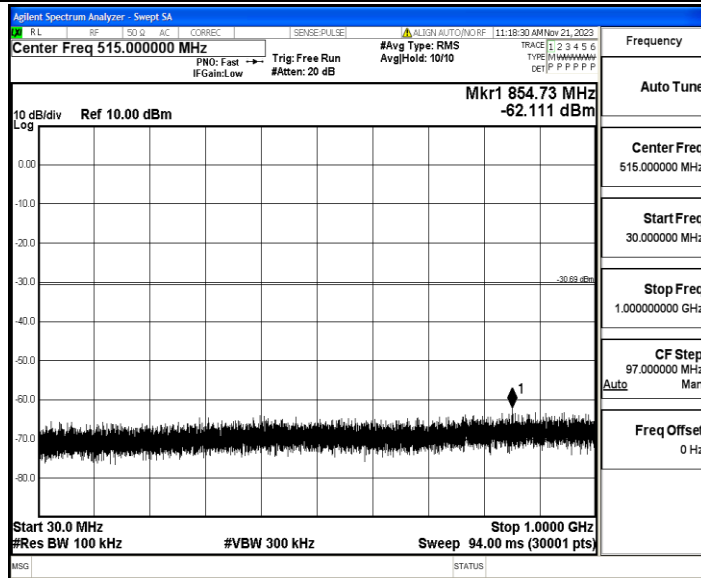
11N20MIMO_Ant2_2462_1000~26500



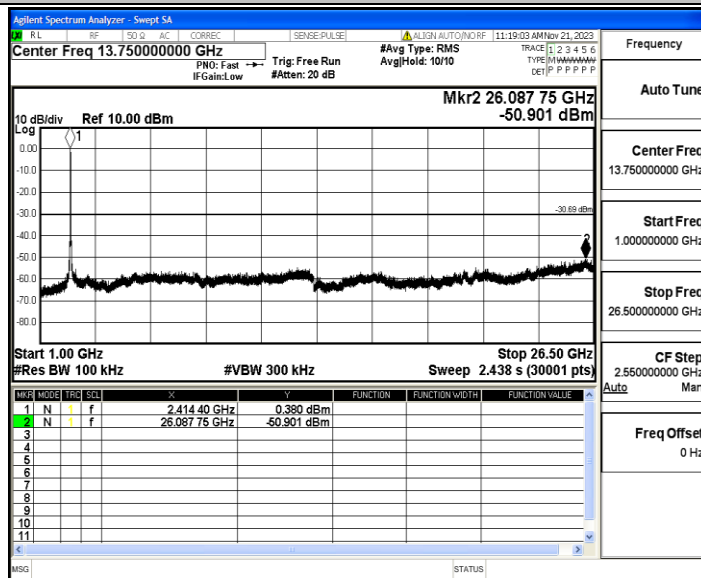
11N40MIMO_Ant1_2422_0-Reference



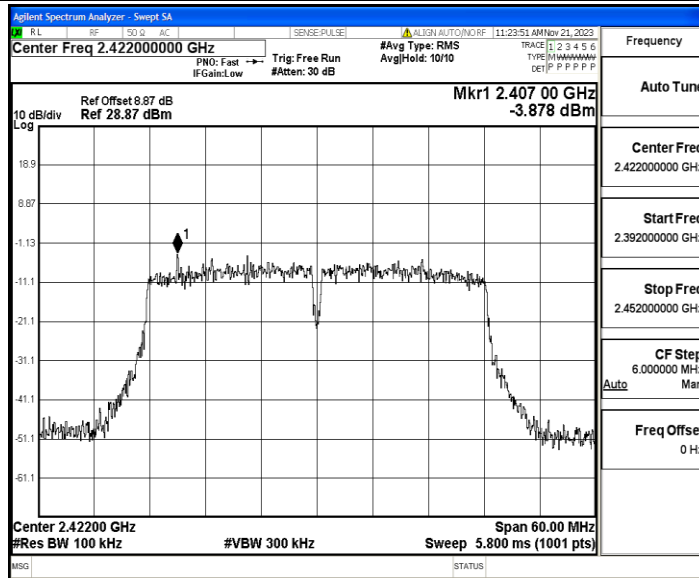
11N40MIMO_Ant1_2422_30~1000



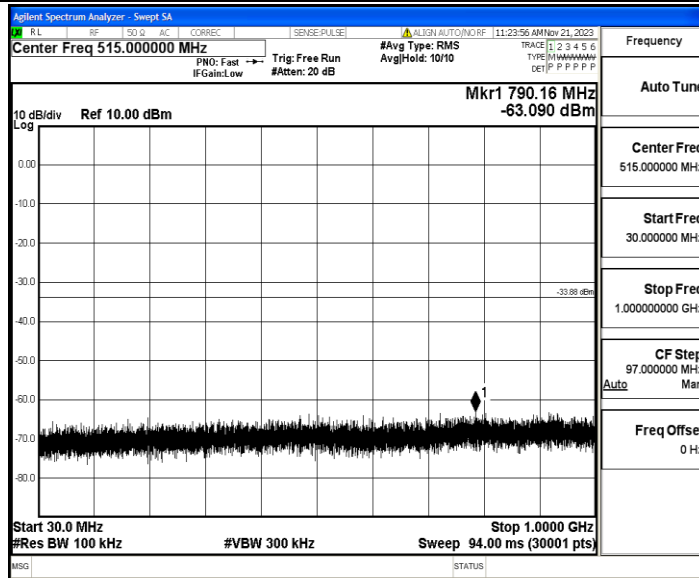
11N40MIMO_Ant1_2422_1000~26500



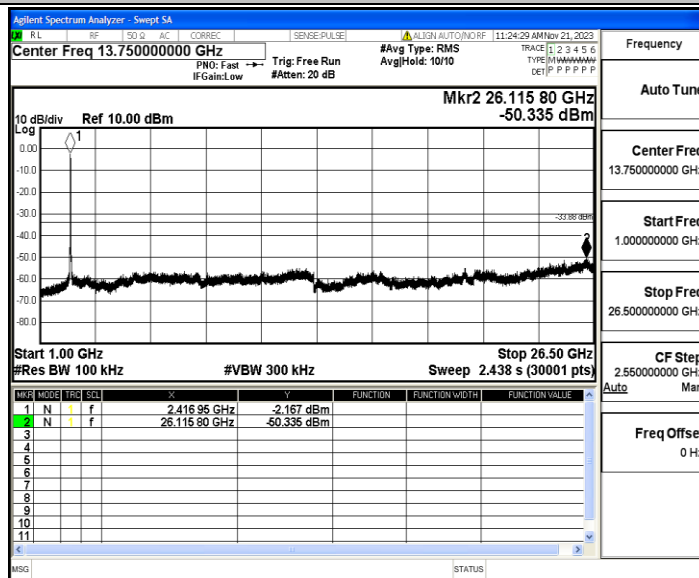
11N40MIMO_Ant2_2422_0~Reference



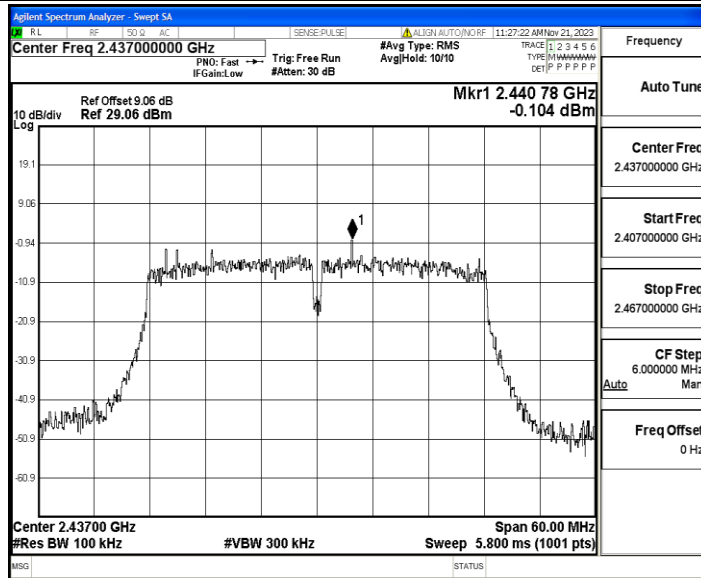
11N40MIMO_Ant2_2422_30~1000



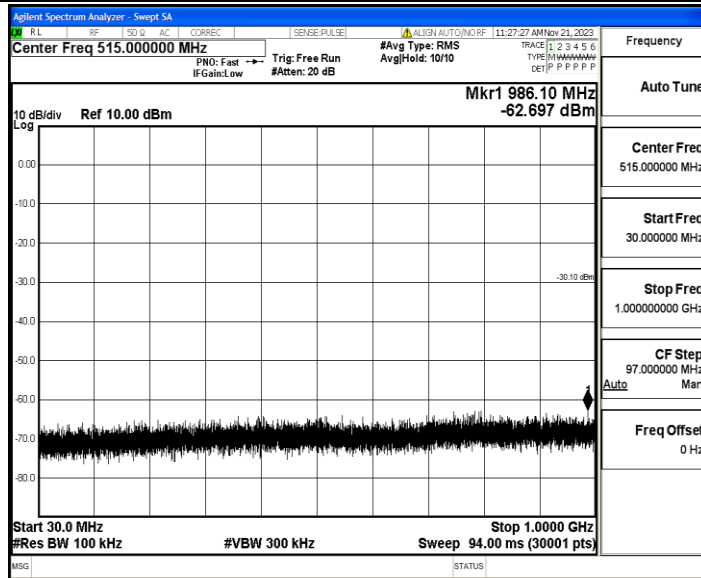
11N40MIMO_Ant2_2422_1000~26500



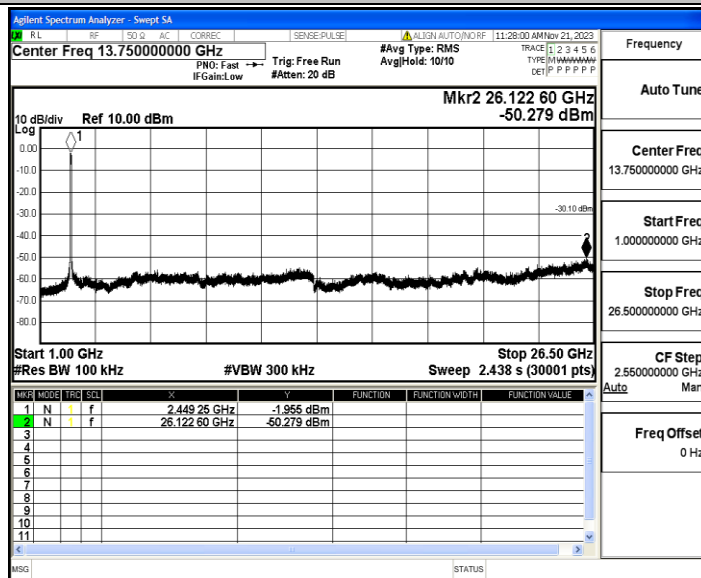
11N40MIMO_Ant1_2437_0~Reference



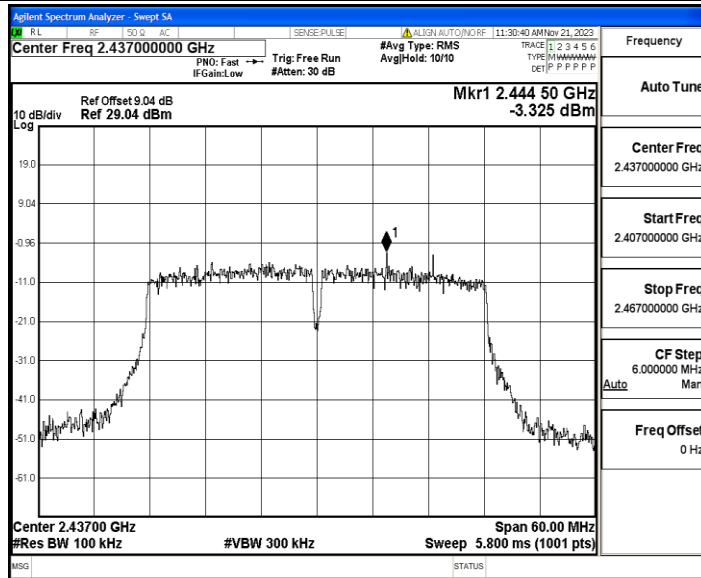
11N40MIMO_Ant1_2437_30~1000



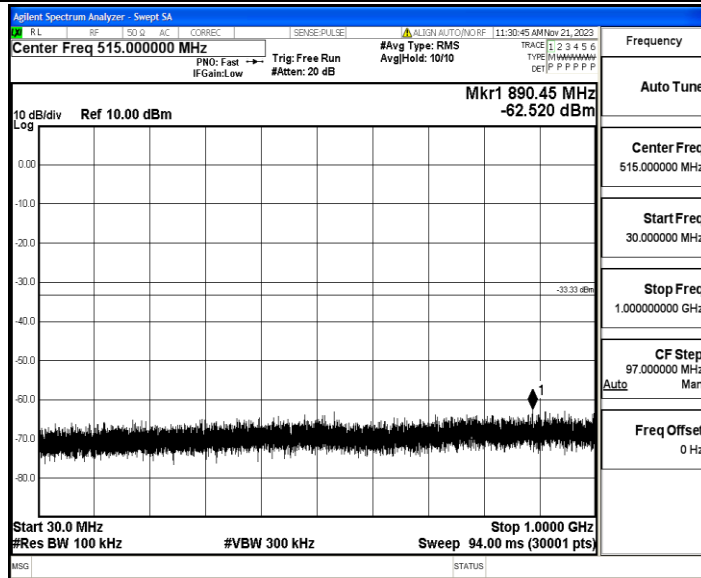
11N40MIMO_Ant1_2437_1000~26500



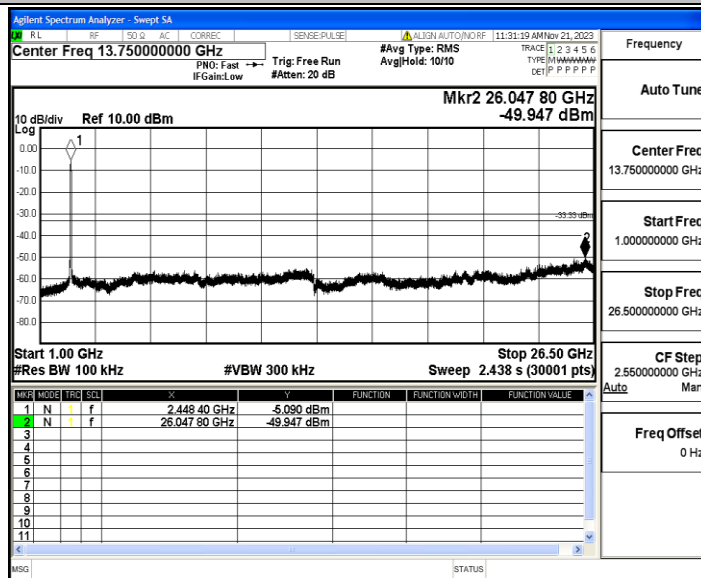
11N40MIMO_Ant2_2437_0~Reference



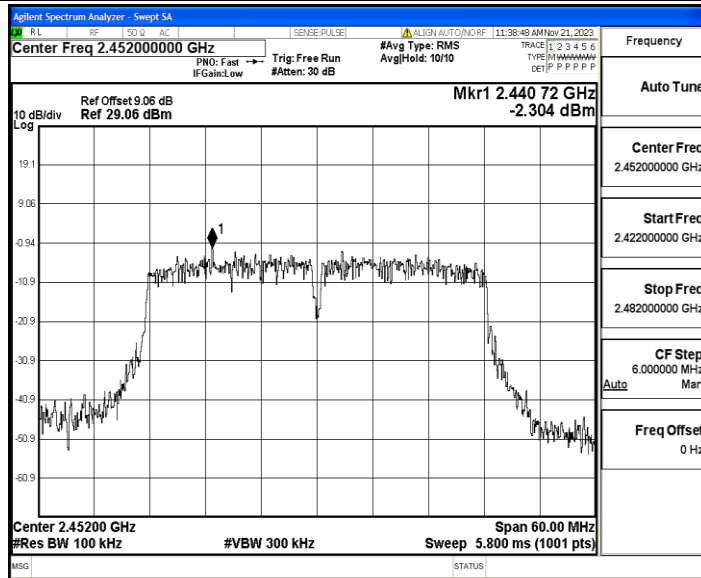
11N40MIMO_Ant2_2437_30~1000



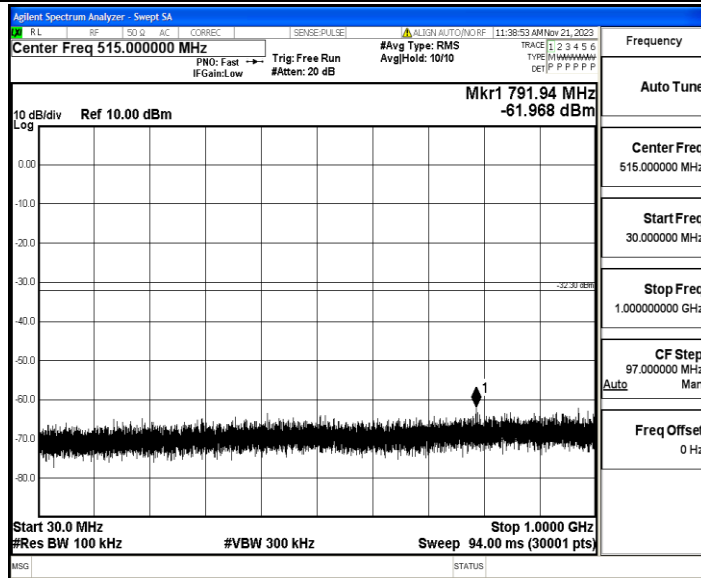
11N40MIMO_Ant2_2437_1000~26500



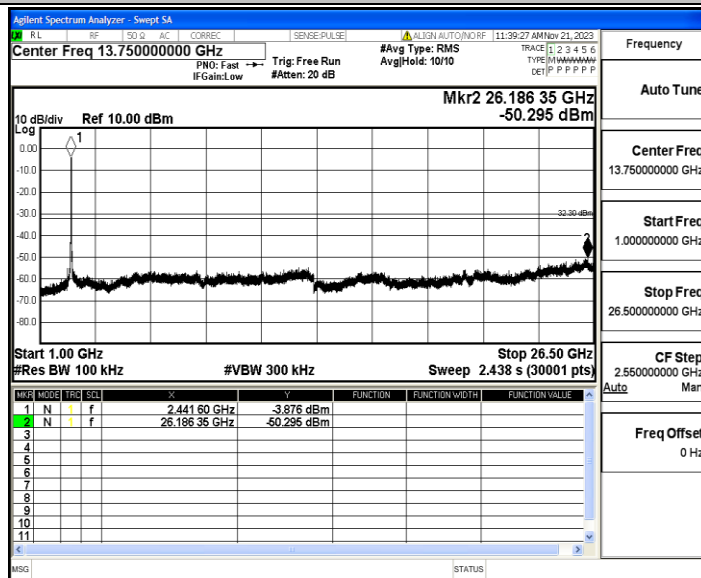
11N40MIMO_Ant1_2452_0~Reference



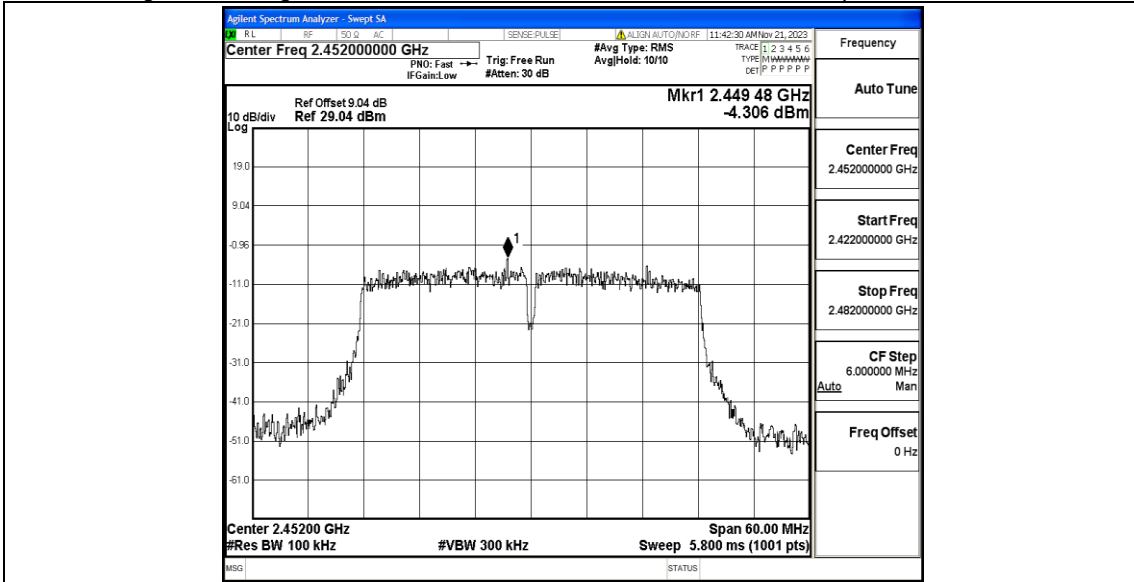
11N40MIMO_Ant1_2452_30~1000



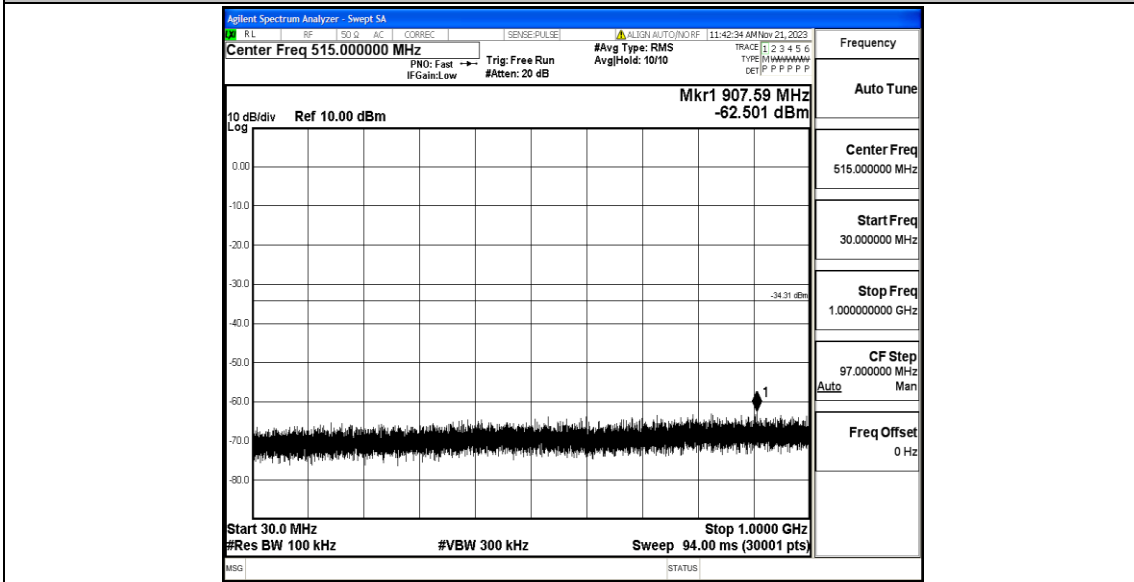
11N40MIMO_Ant1_2452_1000~26500



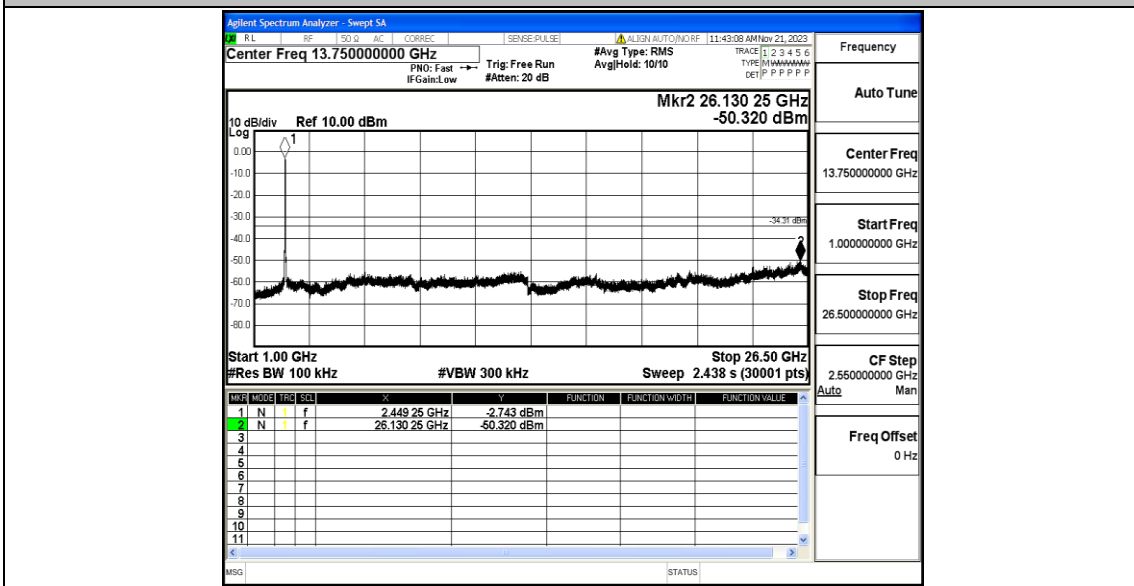
11N40MIMO_Ant2_2452_0~Reference



11N40MIMO_Ant2_2452_30~1000



11N40MIMO_Ant2_2452_1000~26500

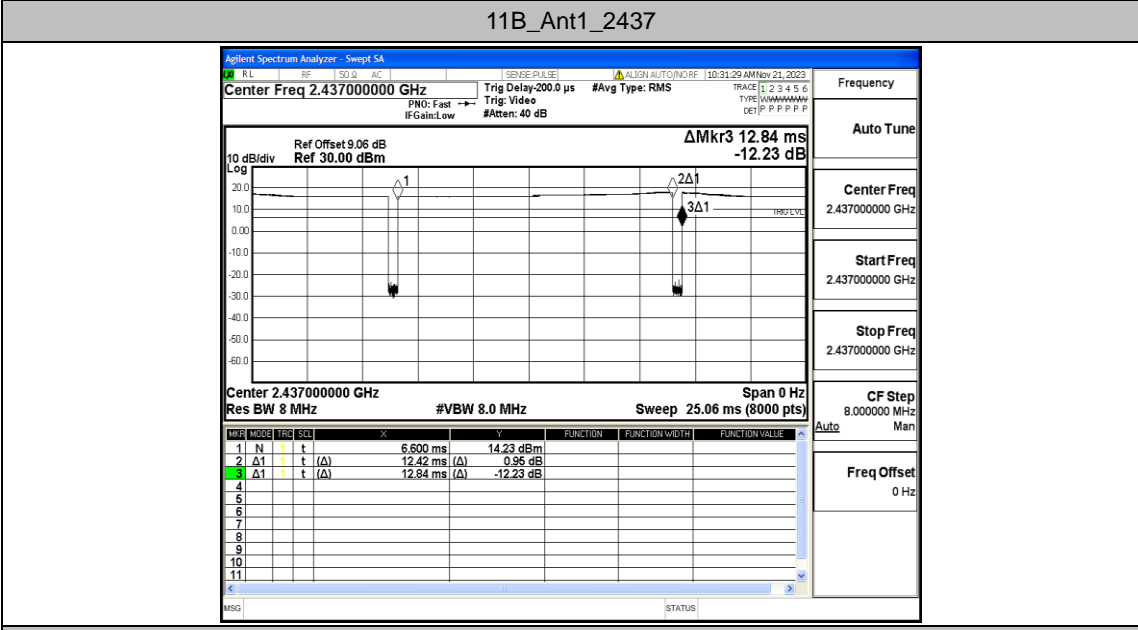
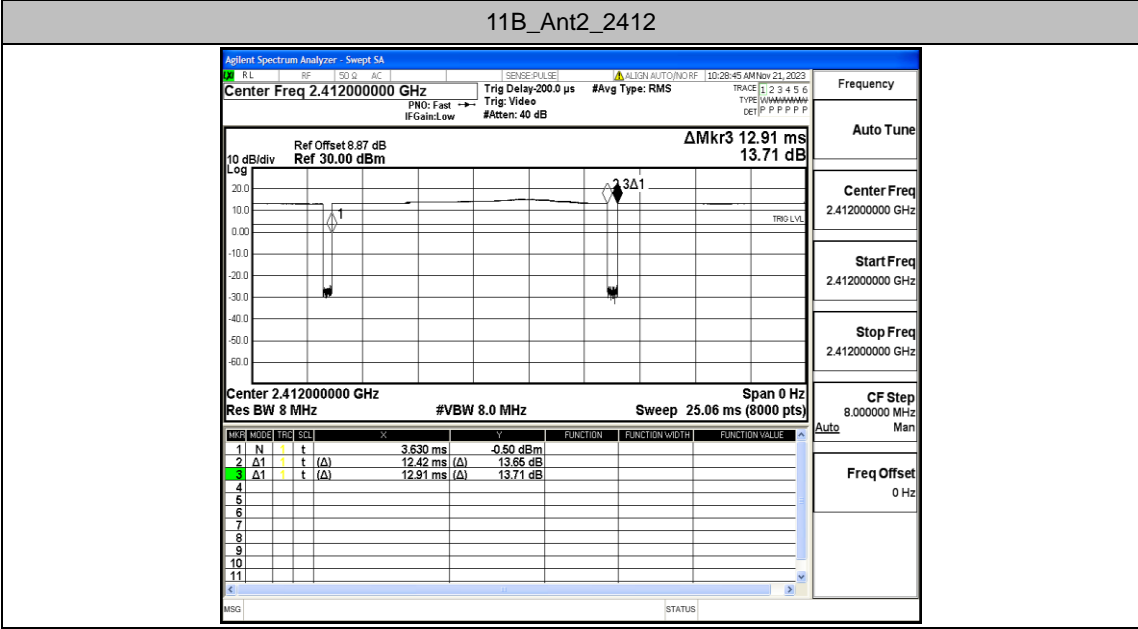
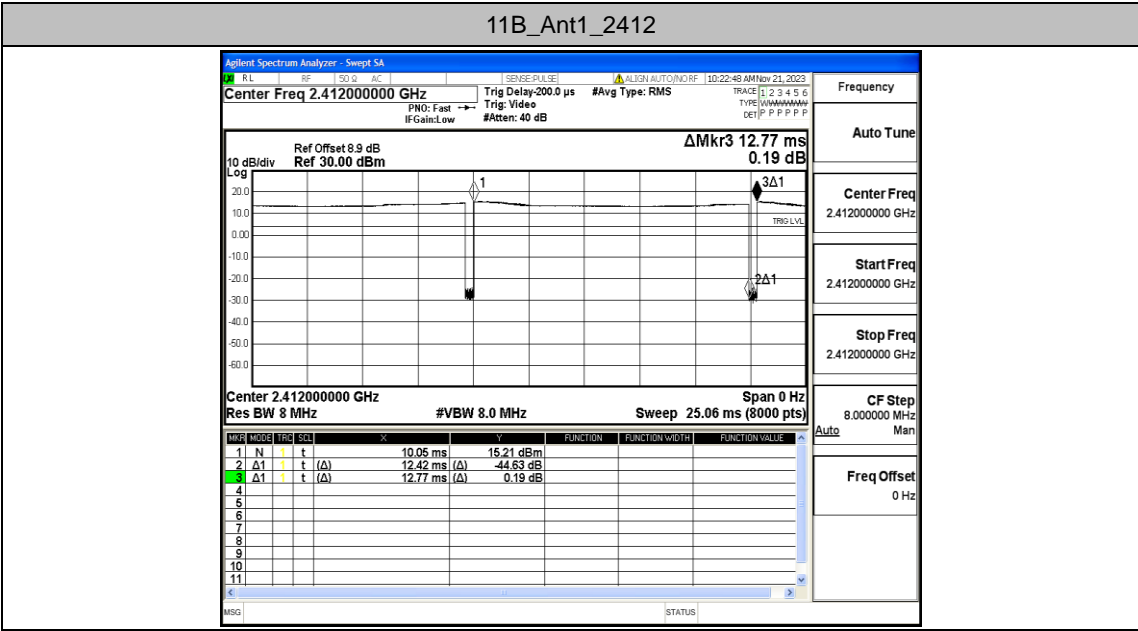


Appendix G: Duty Cycle

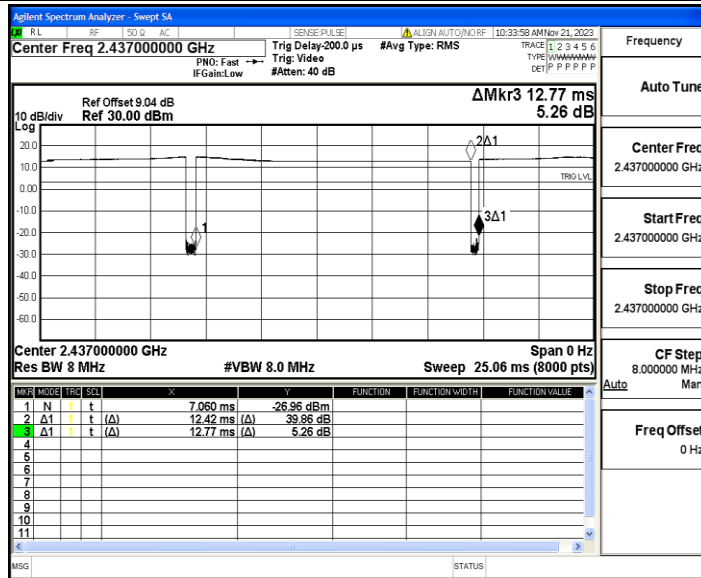
Test Result

TestMode	Antenna	Channel	Transmission Duration [ms]	Transmission Period [ms]	Duty Cycle [%]	1/T[kHz]
11B	Ant1	2412	12.42	12.77	97.26	0.08
	Ant2	2412	12.42	12.91	96.20	0.08
	Ant1	2437	12.42	12.84	96.73	0.08
	Ant2	2437	12.42	12.77	97.26	0.08
	Ant1	2462	12.42	12.81	96.96	0.08
	Ant2	2462	12.42	12.85	96.65	0.08
11G	Ant1	2412	2.06	2.29	89.96	0.49
	Ant2	2412	2.06	2.28	90.35	0.49
	Ant1	2437	2.07	2.30	90.00	0.48
	Ant2	2437	2.07	2.29	90.39	0.48
	Ant1	2462	2.06	2.29	89.96	0.49
	Ant2	2462	2.07	2.30	90.00	0.48
11N20MIMO	Ant1	2412	1.92	2.15	89.30	0.52
	Ant2	2412	1.92	2.15	89.30	0.52
	Ant1	2437	1.92	2.12	90.57	0.52
	Ant2	2437	1.92	2.15	89.30	0.52
	Ant1	2462	1.92	2.15	89.30	0.52
	Ant2	2462	1.92	2.15	89.30	0.52
11N40MIMO	Ant1	2422	0.94	1.16	81.03	1.06
	Ant2	2422	0.94	1.17	80.34	1.06
	Ant1	2437	0.94	1.17	80.34	1.06
	Ant2	2437	0.94	1.17	80.34	1.06
	Ant1	2452	0.94	2.04	46.08	1.06
	Ant2	2452	0.94	2.04	46.08	1.06

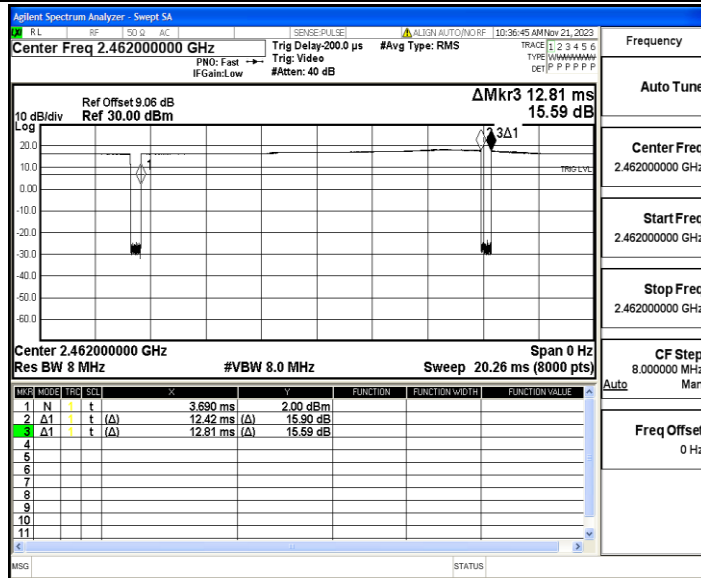
Test Graphs



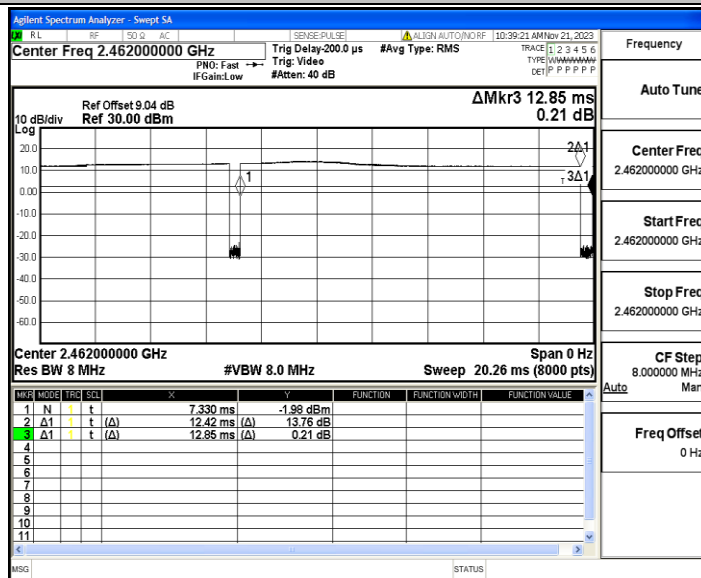
11B_Ant2_2437



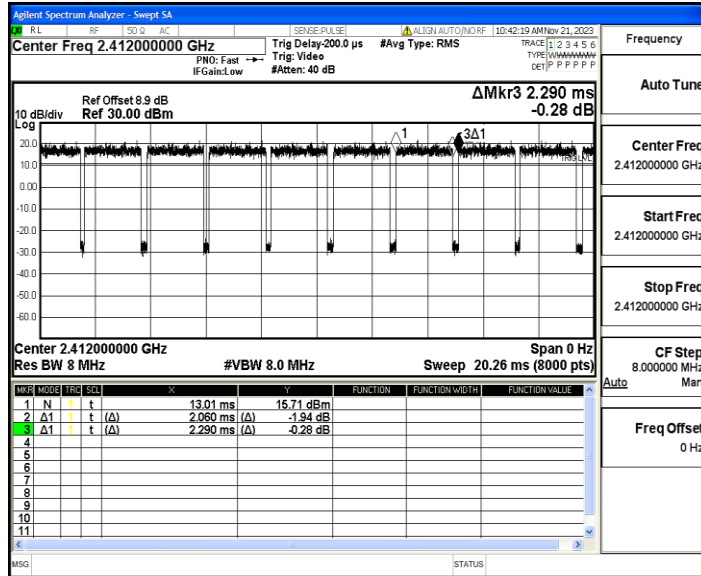
11B_Ant1_2462



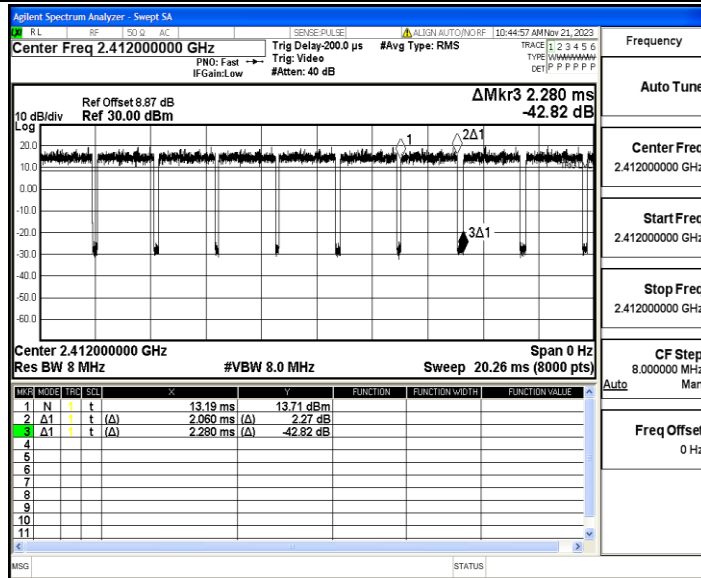
11B_Ant2_2462



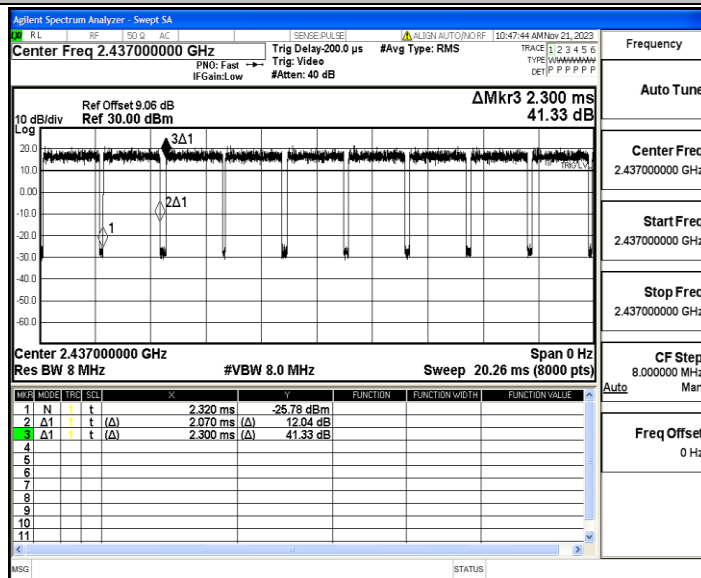
11G_Ant1_2412



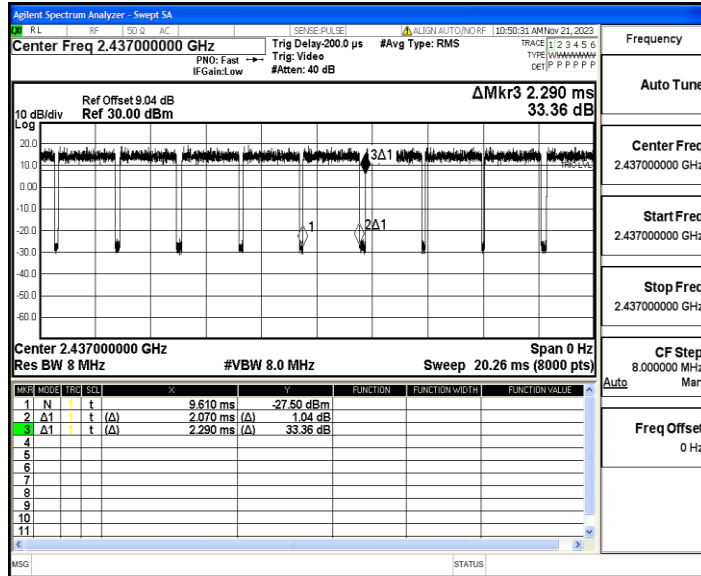
11G_Ant2_2412



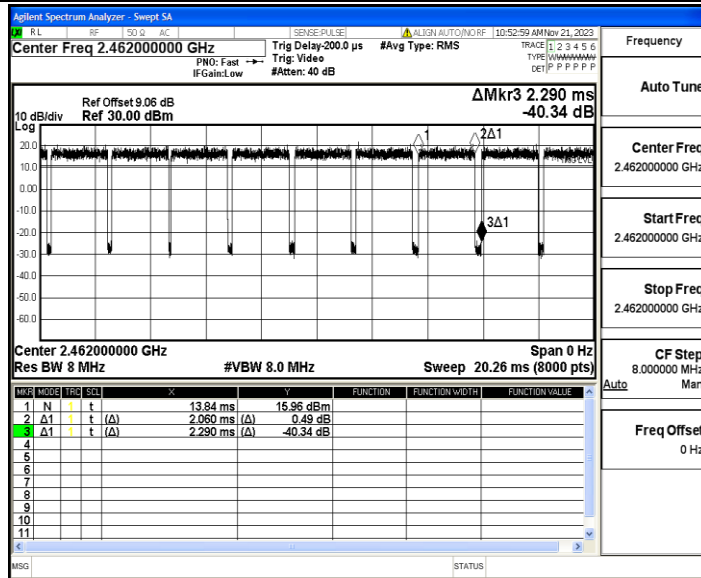
11G_Ant1_2437



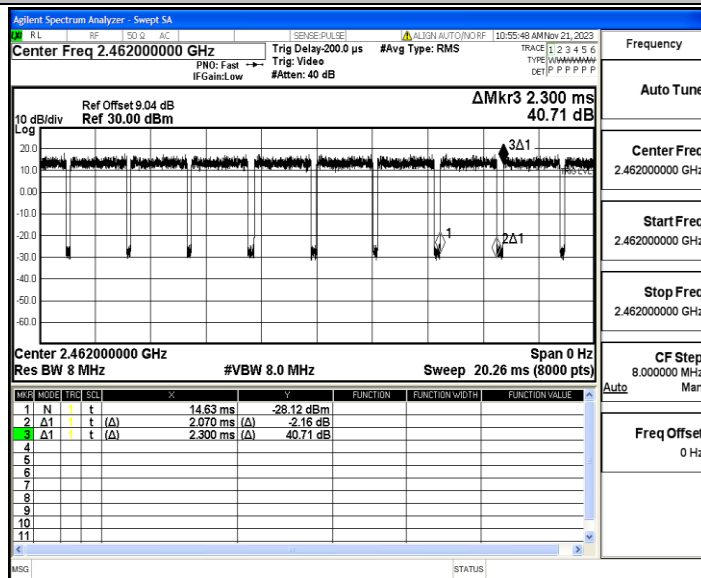
11G_Ant2_2437



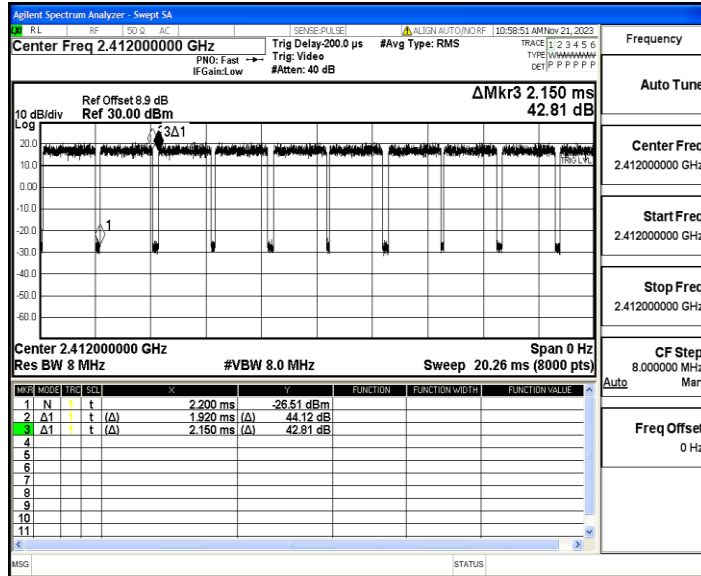
11G_Ant1_2462



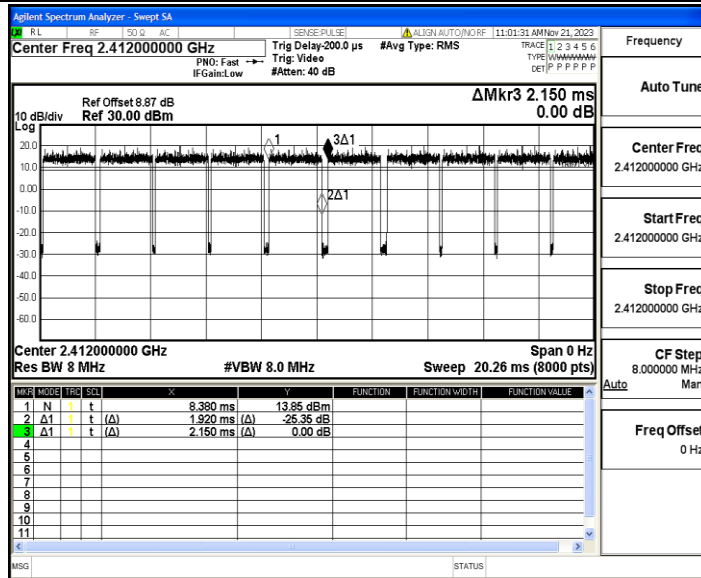
11G_Ant2_2462



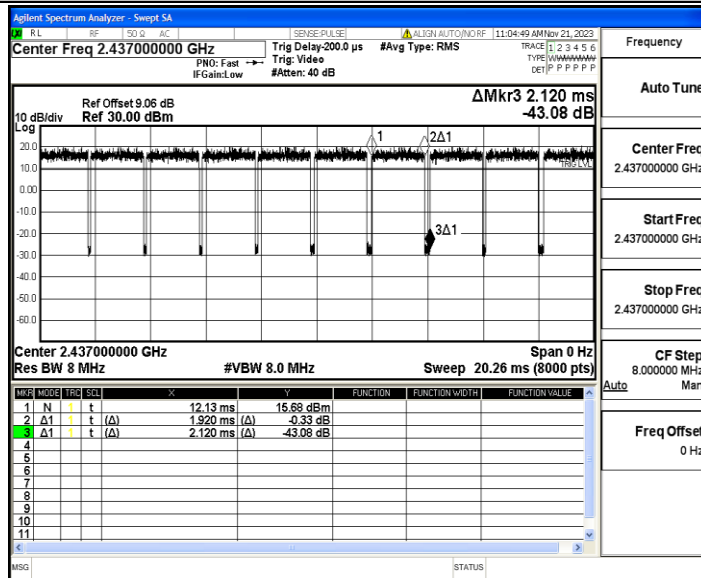
11N20MIMO_Ant1_2412



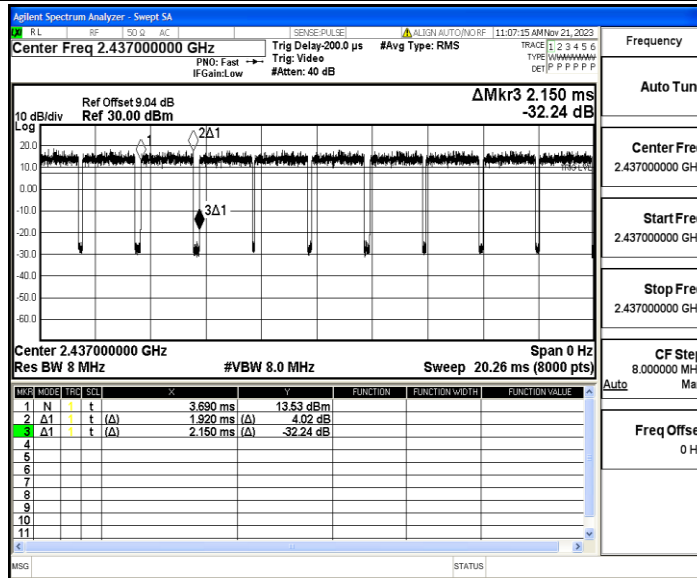
11N20MIMO_Ant2_2412



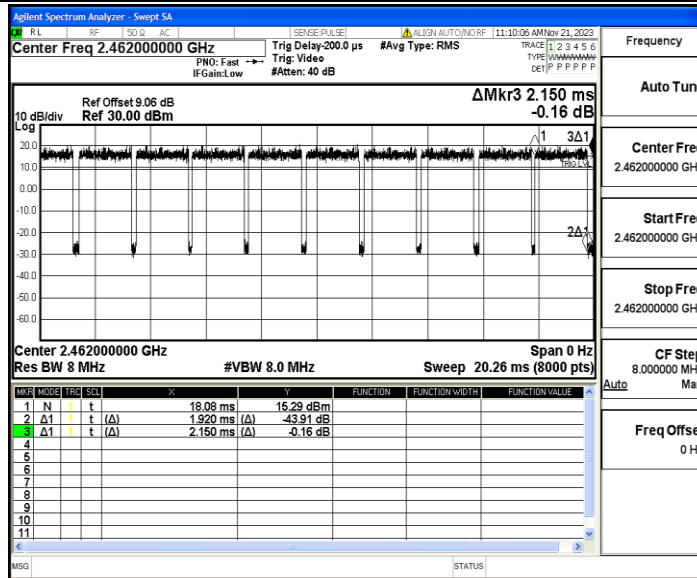
11N20MIMO_Ant1_2437



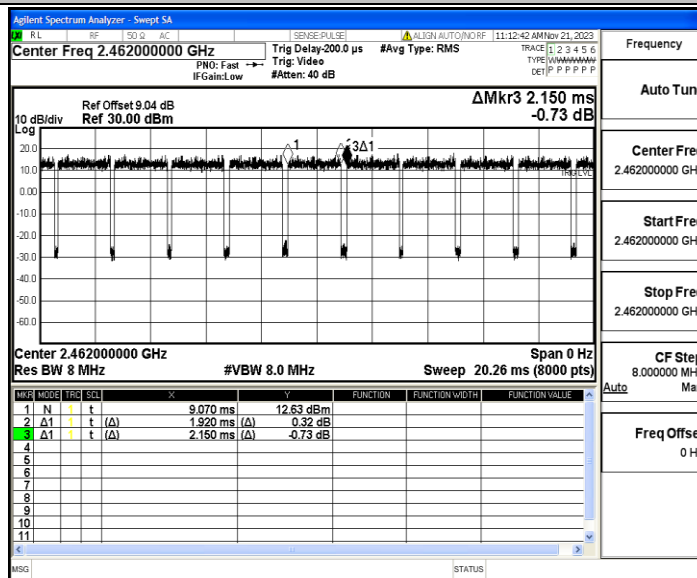
11N20MIMO_Ant2_2437



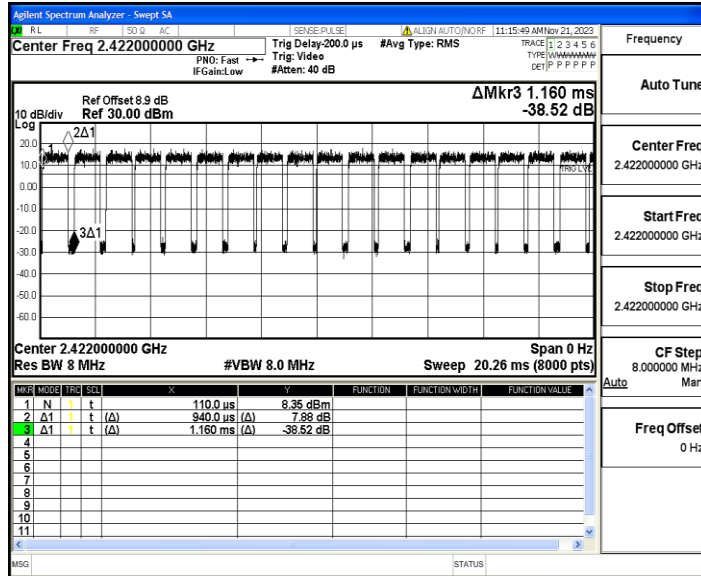
11N20MIMO_Ant1_2462



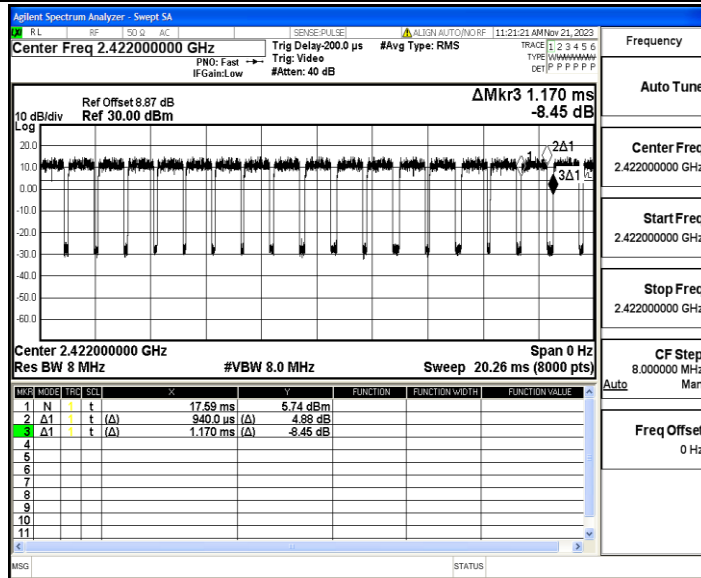
11N20MIMO_Ant2_2462



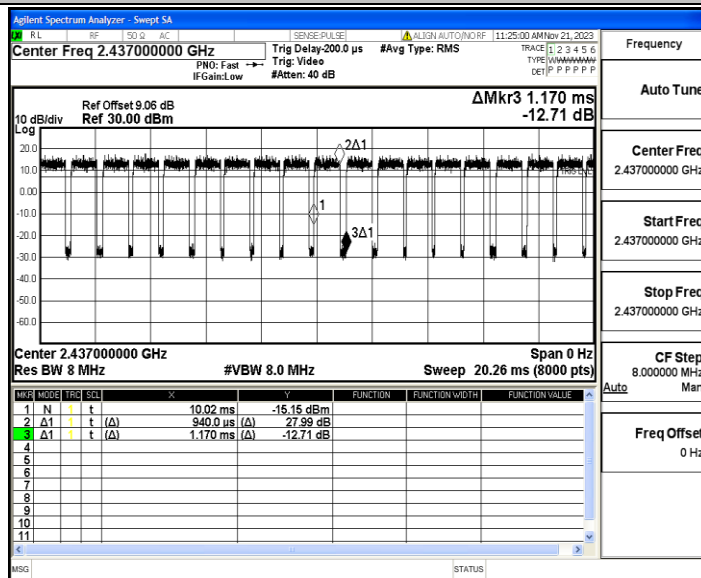
11N40MIMO_Ant1_2422



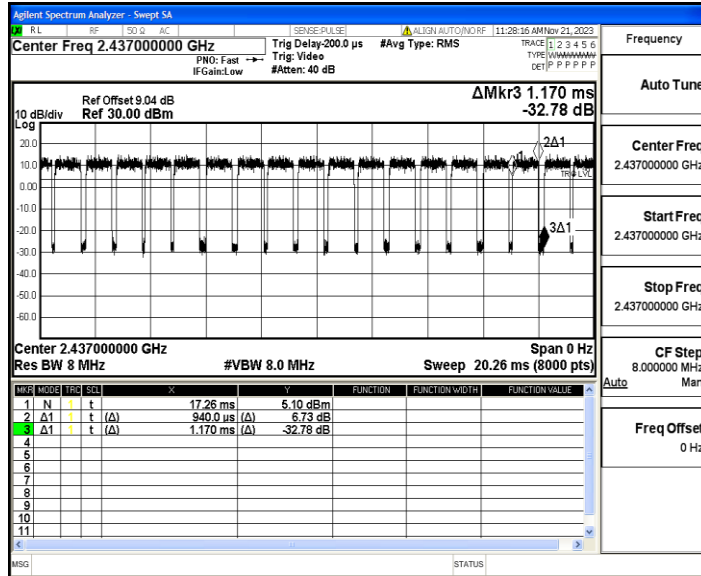
11N40MIMO_Ant2_2422



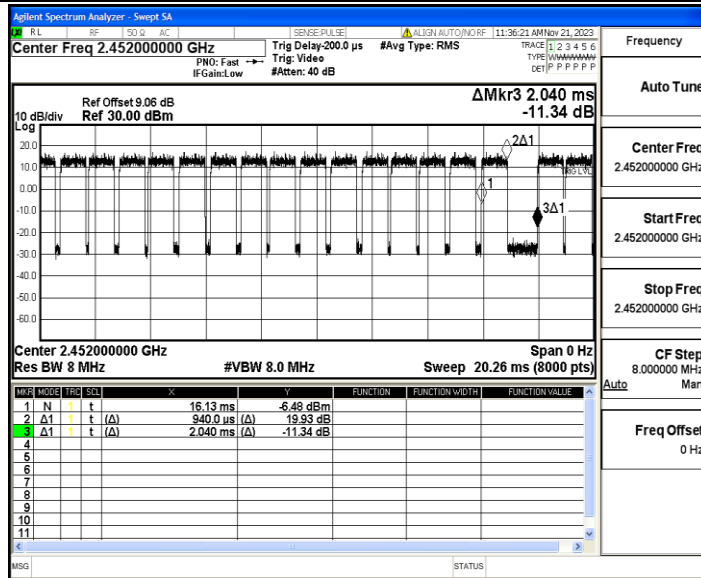
11N40MIMO_Ant1_2437



11N40MIMO_Ant2_2437



11N40MIMO_Ant1_2452



11N40MIMO_Ant2_2452

